

KÖZPONTI FIZIKAI KUTATÓ INTÉZET IRODA

leltárba véve 8173 sz. alatt.

Budapest, 1967 év. márc. hó 16. én

Pappné

Vol.14.No.1.1966

**КФИ**

**KÖZLEMÉNYEK**

**ОБЩЕНИЯ ЦЕНТРАЛЬНОГО ИНСТИТУТА ФИЗИЧЕСКИХ ИССЛЕДОВАНИЙ**

**REPORTS OF THE CENTRAL RESEARCH INSTITUTE FOR PHYSICS**

Szerkeszti: Ádám András  
Главный редактор: А. Адам  
Editor: A. Ádám

A KÖZPONTI FIZIKAI KUTATÓ INTÉZET KIADÓI CSOPORTJA  
ИЗДАТЕЛЬСКАЯ ГРУППА ЦЕНТРАЛЬНОГО ИНСТИТУТА ФИЗИЧЕСКИХ ИССЛЕДОВАНИЙ  
PUBLISHING GROUP OF THE CENTRAL RESEARCH INSTITUTE FOR PHYSICS  
BUDAPEST, 114. POB 49.

Technikai szerkesztő: Nagy Imréné  
Megjelent: 1966. febr. 5.

Példányszám: 320  
Rotaszám: 2449

A kiadásért felelős: Jánossy Lajos

Megjelenik: kéthavonta  
Előfizethető: az MNB 100.015-70 bevételi számlán  
Előfizetési díj: egyes szám 5,-Ft, egy évre: 30,-Ft /6 szám/

1966 DEC = 9.

252

## ÖSSZESÍTETT TARTALOMJEGYZÉK AZ 1966. ÉVBEN MEGJELENT SZÁMOKHOZ

	Oldal
Andrási Andor, Deme Sándor és Nagy Judit: Neutronforrások abszolút hozamának mérése $MnSO_4$ aktiválási módszerrel . . . . .	267
Bakos József, Nagy György és Szigeti János: Vékony rétegnek rezgőkvarccal való vastagságmérésénél feltapadási jelenségek miatt fellépő látólagos rétegvastagság-anomáliákról . . . . .	119
Bakos József, Hering Jenő, Kertész Iván, Kiss Árpád és Varga Péter: Rubin laser-impulzus energiájának mérése fénynyomás segítségével, ballisztikus torziós ingával . . . . .	142
Bakos József, Fürjes Józsefné, Szigeti János: Vákuumszelepek és tolózárok 10, 20, 32, 40 mm belső átmérővel . . . . .	170
Biri János és Deme Sándor: Hurst-típusú proporcionális számláló és digitális kiértékelő berendezés gyorsneutronok abszolút dózisének mérésére . . . . .	311
Csada Imréné: Lásd Erdeyné-Schneer Anna	
M.Dr.Császár Lili, Csillag László, Kertész Iván és Varga Péter: Laser energia mérése optikai kaloriméterrel . . . . .	137
Csillag László és Varga László: A Fabry-Perot interferométer gyűrűrendszerének kiértékeléséről . . . . .	15
Csillag László és Salamon Tamás: He-Ne vörös gázlaser intenzitásának vizsgálata a nyomás, keverékarány és gerjesztő áram függvényében . . . . .	149
Csillag László: Lásd M.Dr.Császár Lili	
Deme Sándor: Lásd Biri János	
Deme Sándor: Lásd Andrási Andor	
Dézsi István, Keszthelyi Lajos, Kiss Ádám és Pócs Lajos: Belső mágneses tér hőmérsékletfüggése . . . . .	77

Dézsi István: Lásd Kósa Somogyi István	
Dolinszky Tamás: Effektív egyrészcsekeállapotok átrendező- déses magreakciókban . . . . .	197
Dolinszky Tamás: A formális szóráselmélet és a csatornael- méletek kapcsolata . . . . .	287
Erdeyné-Schneer Anna, Csada Imréné és Szabó Elek: A KFKI VVRSZ-reaktor primér vízkörében lévő rado- aktiv anyagok kvalitatív vizsgálata . . . . .	245
Farkas Győző, Náray Zsolt és Varga Péter: Rubinlaser nagy fényteljesítmények előállítására . . . . .	129
Fehér István és Nagy G. Ágnes: JG 01/59 típusu $^{132}\text{I}$ -gene- rátor vizsgálata . . . . .	107
Fürjes Józsefné: Lásd Bakos József	
Gombos Péter, Roósz József és Vályi László: Rádiófrekven- ciás negatív hidrogén ionforrás vizsgálata . . . . .	325
Gombos Péter: Lásd Roósz József	
Gombos Péter: Lásd Vályi László	
Gordon János és Sólyom Jenő: Kritikus szórásvizsgáló be- rendezés szögfelbontóképessége . . . . .	29
Gordon János: Monokromatikus hideg neutronok előállítása egykrisztályokkal . . . . .	25
Gömbös Ernő: Lásd Heidt János	
Grüner György, Tompa Kálmán és Tóth Ferenc: Szuszceptibi- litásmérés MMR módszerrel . . . . .	345
Heidt János, Gömbös Ernő és Tüdős Ferenc: Nitrozovegyüle- tek redukálása és néhány pikrilhidrazin származék előállítása . . . . .	183
Hegyháti Magdolna: Nitrogénen kötött metilcsoport hiper- konjugációja . . . . .	99
Hering Jenő: Lásd Bakos József	
Hortobágyi Tibor és Vigassy József: Mikroszervezetek a csillebérci atomreaktor sugárzásoknak ki- tett vízköreiben . . . . .	235
Jancsó Gábor: Deuteroetanol és etanol párologáshőkülönbsé- gének számítása spektroszkópiai adatokból . . . . .	219
Kardon Béla és Kiss Dezső: Izomér hatáskeresztmetszet vi- szony mérése neutronokkal aktivált $\text{Sr}^{85,85\text{m}}$ , $\text{Sb}^{122,122\text{m}}$ és $\text{Re}^{188,188\text{m}}$ magokon . . . . .	85

Kántor Károly és Salamon Tamás: Monokromátorok transzmisszió- képességének mérése, monokromatikus síkban, polározott belépő fény esetén . . . . .	33
Kertész Iván: Lásd Bakos József	
Kertész Iván: Lásd M.Dr.Császár Lili	
Keszthelyi Lajos: Lásd Dézsi István	
Kiss Ádám: Lásd Dézsi István	
Kiss Árpád: Lásd Bakos József	
Kiss Dezső: Lásd Kardon Béla	
Kiss Gábor: A jelalakdiszkrimináció által nyerhető informá- ció számítása és értékelése . . . . .	173
Kluge Gyula, Lajtai Albert és Nagy László: U-235 hasadásá- nál keletkezett neutronok szög- és energia- eloszlásának mérése . . . . .	359
Kósa Somogyi István, Tompa Kálmán és Dézsi István: A szilárd dimetilánilin fiziko-kémiai tulajdonságainak vizsgálata I. . . . .	369
Kozmann György: Lásd Vizesy Mária	
Lajtai Albert: Lásd Kluge Gyula	
Lee Anna: Páronként felcserélhető operátorok közös sajátvek- torrendszerének meghatározásáról . . . . .	63
Makra Zsigmond: Neutron dózisszintenzitás meghatározás fluxus és átlagenergia méréssel . . . . .	49
Makra Zsigmond: A ZR-2 és a VVR-SZ reaktorok dozimetriai vizsgálata . . . . .	391
Matus Lajos: Lásd Opauszky István	
Nagy G. Ágnes: Papir-elektroforézis alkalmazása nyomjelzőként használt radioaktív jód-izotópok analizisére . . . . .	113
Nagy G. Ágnes: Lásd Fehér István	
Nagy György: Lásd Bakos József	
Nagy László: Lásd Kluge Gyula	
Nagy Judit: Lásd Andrási Andor	
Náray Zsolt: Lásd Farkas Győző	
Németh Géza: Az $e^{-x} \int_0^x e^{u^2} du$ függvény Csebisev sorfejtése . . . . .	3

Németh Géza: A képzetes argumentumu nulla indexü Bessel-függvényének megközelítése . . . . .	11
Németh Géza: Bessel-függvények Csebisev-sorfejtése I. $J_\nu(x)$ és $N_\nu(x)$ . . . . .	157
Németh Géza: Bessel-függvények Csebisev-sorfejtése II. $I_\nu(x)$ és $K_\nu(x)$ . . . . .	299
Opauszky István és Matus Lajos: Az urán tömegspektrometria izotópanalizise termikus ionizációval . . . . .	39
Pintér György, Surányi Péter és Tóth Kálmán: A spontán szimmetriasértési feltevés ellenőrzése a K-mezonok leptonikus bomlásaiban . . . . .	193
Pócs Lajos: Lásd Dézsi István	
Pósch Margit, Sebestyén Ákos és Telbisz Ferenc: Fényképezőgépek helyzetének meghatározása buborékkamrában legkisebb négyzetek módszerével . . . . .	415
Roósz József, Gombos Péter és Vályi László: Nagyintenzitású rádiófrekvenciás ionforrás vizsgálata . . . . .	333
Roósz József: Lásd Gombos Péter	
Roósz József: Lásd Vályi László	
Salamon Tamás: Lásd Csillag László	
Salamon Tamás: Lásd Kántor Károly	
Sebestyén Ákos: Lásd Pósch Margit	
Sólyom Jenő: Lásd Gordon János	
Surányi Péter: Lásd Pintér György	
Szabó Elek: Lásd Erdeyné-Schneer Anna	
Szigeti János: Lásd Bakos József	
Szigeti János: Lásd Bakos József	
Szőke Sándor és Vizessy Mária: A benzol molekula erőállandóinak számítása a mátrix invariancia elv alapján . . . . .	207
Telbisz Ferenc: Lásd Pósch Margit	
Tompa Kálmán: Knight eltolódás réz fóliákban . . . . .	227
Tompa Kálmán és Tóth Ferenc: Szilárd dimetilanilin fizikokémiai vizsgálata 2. Proton mágneses rezonancia spektrum . . . . .	283
Tompa Kálmán: Lásd Grüner György	
Tompa Kálmán: Lásd Kósa Somogyi István	

Tompa Kálmán: Lásd Tóth Ferenc	
Tóth Ferenc és Tompa Kálmán: Analóg integrátor . . . . .	409
Tóth Ferenc : Lásd Grüner György	
Tóth Ferenc: Lásd Tompa Kálmán	
Tóth Kálmán: Mátrix $\nu$ -edik hatványa spurjának a kiszámítása . .	73
Tóth Kálmán: Lásd Pintér György	
Tüdős Ferenc: Lásd Heidt János	
Varga László: Exponenciális bomlángörbe paramétereinek egy egyszerű meghatározásáról . . . . .	21
Varga László: Gauss-függvények keverékének komponensekre bontá- sásól . . . . .	383
Varga László: Lásd Csillag László	
Varga Péter: Lásd Bakos József	
Varga Péter: Lásd Farkas Győző	
Varga Péter: Lásd M.Dr.Császár Lili	
Vályi László, Gombos Péter és Roósz József: Hosszu élettár- tamu rádiófrekvenciás ionforrás emittanciájá- nak vizsgálata . . . . .	259
Vályi László: Titánkatódos mágneses-elektromos kisüléssel vákuumszivattyu vizsgálata . . . . .	401
Vályi László: Lásd Gombos Péter	
Vályi László: Lásd Roósz József	
Vigassy József: Lásd Hortobágyi Tibor	
Vizesy Mária és Kozmann György: Zárt alakban integrálható függvény aszimmetrikus kísérleti szinképsá- vok alakjának leírására . . . . .	93
Vizesy Mária: Lásd Szőke Sándor	





T A R T A L O M

1. Németh Géza: Az $e^{-x^{2/2}} \int_0^x e^{u^{2/2}} du$ függvény Csebisev sorfejtése . . . . .	3
2. Németh Géza: A képzetes argumentumu nulla indexü Bessel-függvény primitiv függvényének megközelítése . . . . .	11
3. Csillag László és Varga László: A Fabry-Perot interferométer gyűrűrendszerének kiértékeléséről . . . . .	15
4. Varga László: Exponenciális bomlásgörbe paramétereinek egy egyszerű meghatározásáról . . . . .	21
5. Gordon János: Monokromatikus hideg neutronok előállítása egykristályokkal . . . . .	25
6. Gordon János és Sólyom Jenő: Kritikus szórás-vizsgáló berendezés szögfelbontóképessége . . . . .	29
7. Kántor Károly és Salamon Tamás: Monokromátorok transzmisszióképességének mérése, monokromatikus síkban, polarizott belépő fény esetén . . . . .	33
8. Opauszky István és Matus Lajos: Az urán tömegspektrometriás izotópanalizise termikus ionizációval . . . . .	39
9. Makra Zsigmond: Neutron dózisintenzitás meghatározás fluxus és átlagenergia mérésel . . . . .	49



## Резюме

### 1. Разложение функции $e^{-x^{2/2}} \int_0^x e^{u^{2/2}} du$ по методу Чебышева Г. Нэмет

В настоящей работе описывается разложение функции  $e^{-x^{2/2}} \int_0^x e^{u^{2/2}} du$  по методу Чебышева. С практической точки зрения эти разложения более целесообразны, чем применяемые в литературе, так как они быстрее сходятся. Коэффициенты ряда Чебышева, относящиеся к  $0 \leq x \leq a$ , уменьшаются на  $4^{-n}$  быстрее коэффициентов Тейлора. В случае  $x \geq a$  вместо дивергентного асимптотического ряда дается конвергентный ряд Чебышева. Этот ряд сходится в порядке  $e^{-\lambda n^{2/3}} O(n^{-1/3})$   $n \rightarrow \infty$ ,  $\text{Re} \lambda > 0$ .

### 2. Приближение примитивной функции функции Бесселя мнимого аргумента с индексом 0 Г. Нэмет

С целью вычисления интеграла  $\int_0^x I_0(t) dt$  в настоящей работе даются точные полиноминые приближения для 9 десятичных знаков ( $I_0(t)$  обозначает функцию Бесселя мнимого аргумента).

### 3. Об обработке системы колец интерферометра Фабри-Перот Л. Чиллаг и Л. Варга

Было исследовано, где целесообразно установить место щели спектрографа в направлении радиуса в системе колец интерферометра Фабри Перот для того, чтобы для доли порядка получить оценку с наименьшим рассеянием. Было найдено, что в большинстве случаев надо выбрать симметричное центру расположение.

### 4. Об одном простом определении параметров экспоненциальной кривой распада Л. Варга

Изучается так называемый метод Прони распада на экспоненциальный компонент со статистической точки зрения, в простейшем случае: при определении параметров кривой распада с одним компонентом.

5. Получение монохроматических холодных нейтронов с помощью монокристал-  
лов  
Я. Гордон

Были измерены интенсивность и разрешение по длине волны в монохроматическом пучке нейтронов, отраженных от монокристаллов магнетита, германия и слюдяных пластинок, собранных в пакет. Монокристалл магнетита особенно пригоден для получения пучка холодных нейтронов с разрешением  $\frac{\delta \lambda}{\lambda} \sim 2\%$ .

6. Угловое разрешение установки для исследования критического рассеяния  
нейтронов  
Я. Гордон и Е. Шоём

Рассеяние тепловых и холодных нейтронов успешно используется для изучения поведения магнитных материалов в окрестности точки юри. Показано нами, что в случае, если горизонтальное и вертикальное расхождения по углам примененных коллиматоров малы относительно угла рассеяния, то угловые зависимости интенсивности и сечение совпадают; если  $(\frac{\epsilon_1}{\vartheta})^2$  то коррекция меньше, чем  $\epsilon_2 = 2\epsilon_1$ , где  $\epsilon_1$  - горизонтальный,  $\epsilon_2$  - вертикальный угол расхождения,  $\vartheta$  - угол рассеяния.

7. Измерение пропускемости монохроматоров при монохроматическом свете с  
плоскостно-поляризованным входом  
К. Кантор и Т. Шаламон

Была измерена пропускемость двух однотипных монохроматоров (Zeiss - SRM-2) в области спектра 360-800 nm, снабженных кварцевой и стеклянной призмами, а также плоской решеткой при направлении входящего монохроматического поляризованного света параллельно и перпендикулярно раяням щели. Результаты измерений показывают, что величины пропускания должны быть определены по составляющим элементам экспериментально и отдельно для каждого монохроматора.

8. Анализ изотопов урана с масс-спектрометром методом термической ионизации

И. Опауски и Л. Матуш

Были проведены эксперименты по определению изотопного состава урана, основанные на измерении термической эмиссии урана с вольфрамовой нитью. Измерения с нитью, на которую наносился спеканием порошок вольфрама, проводились на приборе MI-1305; другая группа измерений - с графитной суспензией - на приборе CsF - 500. Оба прибора были однофокусированные, с ионным радиусом 20 см. Измерение ионного тока производилось усилителем постоянного тока. Установлено, что при соответственно выбранных условиях измерения, использованные типы приборов могут быть пригодными для определения изотопного состава урана термической ионизацией. Особенно пригодным оказалось использование суспензии порошка графита, поскольку при небольших количествах урана в течение продолжительного времени был получен постоянный ионный ток достаточно большой интенсивности  $U$ .

9. Определение интенсивности дозы нейтронов измерением потока и средней энергии

Ж. Макра

Было построено устройство для измерения средней энергии нейтронов с энергией  $E > 10$  кэв. Принцип действия нашего устройства следующий: нейтронный поток, падающий на замедлитель, замедляется в нем, и пространственное распределение медленных нейтронов зависит от первичной энергии нейтронов. Измерение производится так, что перед детектором термических нейтронов, расположенном на поверхности полиэтиленового блока помещаются полиэтиленовые диски различной толщины. Описывая "методом первого столкновения" асимптотическое поведение пространственного распределения, калибровка по энергии и зависимость чувствительности от энергии устройства получаются в хорошем согласии с измерениями.

S u m m a r i e s

1. Chebyshev Expansion of the Function  $e^{-x^{2/2}} \int_0^x e^{u^{2/2}} du$   
G.Németh

The Chebyshev expansions of the function  $e^{-x^{2/2}} \int_0^x e^{u^{2/2}} du$  are considered. It is shown that, owing to their earlier convergence, these expansions are more practical than other expansions of the function known from the literature. The Chebyshev coefficients for  $0 \leq x \leq a$  reduce by a factor of about by  $4^{-n}$  higher than the Taylor coefficients. Instead of the divergent asymptotical expansion, a convergent Chebyshev series is given for  $x \geq a$  the convergence of which is of the order  $e^{-\lambda n^{2/3}} O(n^{-1/3})$   $n \rightarrow \infty$ ,  $\text{Re } \lambda > 0$ .

2. Approximation to the Elementary Bessel Function of Zero Index with Imaginary Argument  
G.Németh

Polynomial approximations to 9 digit accuracy are given for the evaluation of the integral  $\int_0^x I_0(i) dt$  where  $I_0(t)$  stands for the Bessel function with imaginary argument.

3. On the Evaluation of Interference Patterns in Fabry-Perot Interferometer  
L.Csillag and L.Varga

Investigations have been made to determine the optimum radial position of the spectrograph slit on the interference pattern to obtain the minimum standard deviation in the estimate of the fractional part  $\epsilon$ . As a rule the position symmetrical to the centre proved to be the most satisfactory.

4. Simple Method for the Evaluation of the Parameters of Exponential Decay Curves

L.Varga

Expansion in exponential terms by the so-called Prony method is considered from the statistical aspect in the most simple case when the parameters of the decay curve with a single exponential term are evaluated.

5. Production of Monochromatic Cold Neutron Beam with the Use of Monocrystals

J.Gordon

Intensity and wavelength resolution measurements of monochromatic neutron beam reflected from magnetite, germanium monocrystals and mica sheets are reported. Monocrystalline magnetite proved to be particularly useful for the production of cold neutron beam with wavelength resolution  $\frac{\delta\lambda}{\lambda} \sim 2\%$ .

6. Angular Resolution of Critical Scattering Experiments

J.Gordon and J.Sólyom

Scattering of cold and thermal neutrons is a useful tool for investigating the behaviour of magnetic materials in the vicinity of their Curie temperature. It is shown that the angular distribution of the intensity approximates the cross section formula, if the vertical and horizontal angular divergence of the collimators applied is small as compared with the scattering angle. The correction is smaller than  $\left(\frac{\xi_1}{\delta}\right)^2$ , if  $\xi_2 = 2\xi_1$ , where  $\xi_1$  and  $\xi_2$  are the horizontal and vertical divergences, respectively, and  $\delta$  is the scattering angle.

7. Transmission Efficiency of Monochromators for Monochromatic Plane-polarized Light

K.Kántor and T.Salamon

The transmission efficiency has been evaluated for two monochromators of identical type /Zeiss SPM-2/ with quartz and glass prisms and plane gratings in the spectral range from 360 to 800 nm when the incident monochromatic light was being polarized in the direction parallel and normal to the entrance slit. The results show that the transmission values have to be determined experimentally per monochromator for each of the dispersing elements involved.



8. Mass-Spectrometric Isotopic Analysis of Uranium Using Thermionic Emission

I. Opauszky and L. Matus

Experiments have been performed to determine the isotopic composition of uranium mass-spectrometrically. For the production of ions thermionic emission from tungsten filament has been used either in a form sintered with powdered tungsten or coated with graphite powder applied in aqueous suspension.

The measurements were carried out for the former with MI-1305, for the latter with CSF-500 model mass-spectrometer, each being a single focusing type with an ion beam radius of 20 cm and d.c. amplifier for ion detection. Both mass-spectrometers were found to be adequate for the isotopic analysis of uranium under appropriately chosen experimental conditions. The suspension method proved to be particularly useful because of its simplicity and the fairly stable and high thermionic ion intensity obtained for quite a long time from relatively small amounts of uranium.

9. A Device for the Measurement of Average Neutron Energies

S. Makra

A device for the determination of the average energies of relatively low neutron fluxes is described. Its principle of operation is based on that for a flux of fast or intermediate energy neutrons incident on a moderator, the space-distribution of thermalized neutrons is dependent on the incident neutron energy.

The space-distribution is measured by using a boron-lined thermal neutron counter and polyethylene discs of various thicknesses. The asymptotic behaviour of the space-distribution is described by the "first collision method". In this way the main characteristics of the instrument can be determined. Theoretical calculations are in good agreement with experimental results. The energy range covered by the instrument is from 10 keV to 15 MeV, its sensitivity is of the order of  $10^{-1}$ - $10^{-2}$  count per unit fluence.

AZ  $e^{-x^2/2} \int_0^x e^{u^2/2} du$  FÜGGVÉNY CSEBISEV SORFEJTÉSE

Irta: Németh Géza

### Összefoglalás

A dolgozatban az  $e^{-x^2/2} \int_0^x e^{u^2/2} du$  függvény Csebisev sorfejtésével foglalkozunk. Ezek a sorfejtések praktikus szempontból célszerűbbek az irodalomban használatosaknál, mivel gyorsabban konvergálnak. A  $0 \leq x \leq a$ -ra vonatkozó Csebisev sor együtthatói kb.  $4^{-n}$ -nel gyorsabban csökkennek a Taylor sor együtthatóinál. Az  $x \geq a$  esetben a divergens aszimptotikus sor helyett konvergens Csebisev sort adunk meg. E sor az

$$e^{-\lambda} n^{2/3} O(n^{-1/3}) \quad n \rightarrow \infty, \quad \operatorname{Re} \lambda > 0$$

rendben konvergál.

### 1/ Bevezetés

Jelen dolgozatunkban az

$$F(x) = e^{-x^2/2} \int_0^x e^{u^2/2} du$$

függvény ún. Dawson integrál Csebisev sorfejtésével foglalkozunk. Ismeretes [1], hogy e sorfejtés részletösszegei a függvényt legjobban megközelítő polinomokhoz igen közel esnek, és így a függvény értékeinek generálására akár kézi számoláshoz, akár elektronikus gépen program készítéshez kiválóan alkalmasak.

E függvényre az irodalomban jól kidolgozott táblázatok készültek [2], [3], de ezek számológépben való függvénygenerálásra /vagy kis pontosságú, vagy nagy terjedelmű miatt/ kevésbé alkalmasak.

Dolgozatunkban először az  $F(x)$  függvény  $0 \leq x \leq a$  a intervallumra vonatkozó Csebisev sorfejtését határozzuk meg. A sorfejtés együtthatói kb.  $4^{-n}$ -nel gyorsabban csökkennek a Taylor sor megfelelő együtthatóinál.

Továbbá,  $x \geq a$  esetére a jól ismert divergens aszimptotikus sor helyett konvergens Csebisev sort adunk meg. E sor konvergenciájának

$$e^{-\lambda} n^{2/3} = O(n^{-1/3}) \quad n \rightarrow \infty, \quad \operatorname{Re} \lambda > 0$$

a rendje. Mindkét esetben a sorfejtési együtthatókat rekurzív képletekből határozzuk meg.

Végezetül az együtthatók numerikus értékeit  $a=4$  esetén táblázatosan adjuk meg

2/ Csebisev sorfejtés  $0 \leq x \leq a$  esetére

A  $F(x)$  függvényt néhány egyszerű átalakítás után a következő alakba írhatjuk:

$$F(x) = \frac{x}{2} \int_0^1 e^{-x^2/2 u} (1-u)^{-1/2} du.$$

Helyettesítsük ide be az exponenciális függvény Taylor sorát, így  $F(x)$  Taylor sora adódik

$$F(x) = x - \frac{x^3}{1.3} + \frac{x^5}{1.3.5} - \dots = x \sum_{n=0}^{\infty} (-1)^n a_n x^{2n}; \quad a_n = O\left(\frac{2^{-n}}{\Gamma(n+1/2)}\right).$$

Ha most az exponenciális függvény helyére az alábbi Csebisev-sort helyettesítjük,

$$e^{-\alpha s} = e^{-\alpha/2} I_0(\alpha/2) + 2 \sum_{n=1}^{\infty} (-1)^n e^{-\alpha/2} I_n(\alpha/2) T_n^*(s) \quad 0 \leq s \leq 1,$$

ahol  $T_n^*(s)$  a Csebisev polinomot,  $I_n(x)$  a képzetes argumentumu reguláris Bessel-függvényt jelöli, és

$$x = at, \quad 0 \leq t \leq 1, \quad s = t^2, \quad \alpha = a^2/2,$$

megkapjuk  $F(x)$  Csebisev sorát

$$F(x) = x \left\{ A_0(a) + 2 \sum_{n=1}^{\infty} (-1)^n A_n(a) T_{2n}(x/a) \right\}, \quad 0 \leq x \leq a, \quad //$$

$$A_n(a) = \frac{1}{2} \int_0^1 I_n\left(\frac{a^2}{4} u\right) e^{-\frac{a^2}{4} u} (1-u)^{-1/2} du.$$

Felhasználva, hogy rögzített  $x$ -re

$$I_n(x) = \frac{(x/2)^n}{n!} \left\{ 1 + O\left(\frac{1}{n}\right) \right\}, \quad n \rightarrow \infty$$

könnyen meghatározhatjuk  $A_n(\alpha)$  aszimptotikus viselkedését  $n \rightarrow \infty$ -re:

$$A_n(\alpha) = O\left(\frac{\alpha^{2n-n}}{\Gamma(n+3/2)}\right).$$

Ebből a becslésből látható, hogy a Csebisev sor konvergenciája kb.  $4^{-n}$ -es faktorial gyorsabb a Taylor sorhoz képest. Az  $A_n$  számokat integrálelőállításuk segítségével könnyebben számolható alakra hoztuk:

$$A_0(\alpha) = \frac{1}{\alpha} \int_0^\alpha e^{-u^2/2} du,$$

$$A_n(\alpha) = A_{n+1}(\alpha) + \frac{\sqrt{2\pi}}{\alpha} e^{-\alpha^2/4} I_{n+1/2}(\alpha^2/4),$$

$$n = 0, 1, 2, \dots$$

E képletek alapján a Csebisev sor együtthatóinak számítása rekurzív módon történhet.

### 3/ Csebisev sorfejtés $x \geq \alpha$ esetére

Az  $x \geq \alpha$ -ra  $F(x)$  számítását az

$$F(x) \sim \frac{1}{x} + \frac{1}{x^3} + \frac{1.3}{x^5} + \frac{1.3.5}{x^7} + \dots$$

aszimptotikus sor segítségével végzik [4], [5], ez a sor nyilvánvalóan divergens.

Mi most az  $F(x)$  függvény Csebisev sorát fogjuk vizsgálni egy egyszerű integrálelőállítás segítségével.

Integráljuk az  $e^{\frac{1}{2}(z^2-x^2)}$  függvényt  $z$  szerint a komplex síkon, a  $[0, x; x+iN, iN, 0]$  zárt téglalapon. Az  $N \rightarrow \infty$  határátmenet elvégzése után egyszerű számolással azt kapjuk, hogy

$$F(x) = \int_0^\infty \sin x u e^{-u^2/2} du,$$

legyen továbbá  $\sigma = \frac{\alpha}{x}$ , ( $0 \leq \sigma < 1$ ) és  $\eta = u/\sigma$  akkor,

$$F(x) = \frac{1}{x} \int_0^\infty \alpha \sin \alpha \eta e^{-\frac{1}{2} \eta^2 \sigma^2} d\eta.$$

Helyettesítsük be ide az exponenciális függvény Csebisev sorát

$\alpha = \frac{1}{2} \eta^2$ ,  $s = \sigma^2$ , megcserélve az integrálás és összegezés sorrendjét  $F(x)$  Csebisev sorát nyerjük:

$$F(x) = \frac{1}{x} \left\{ B_0(\alpha) + 2 \sum_{n=1}^{\infty} (-1)^n B_n(\alpha) T_{2n}(\sigma) \right\}, \quad \sigma = \alpha/x,$$

ahol /2/

$$B_n(\alpha) = \int_0^{\infty} \alpha \sin \alpha \eta e^{-\frac{1}{4} \eta^2} I_n\left(\frac{1}{4} \eta^2\right) d\eta.$$

$n = 0, 1, 2, \dots$

A  $B_n$  számok numerikus számolás céljára igen kényelmetlen alakban / erősen oszcilláló improprius integrál formájában / adódtak. A következőkben a  $B_n(\alpha)$  integrálokat egyszerűbb, könnyebben számolható alakra hozzuk. Számítsuk ki ugyanis a

$$H_n(\rho) = \int_0^{\infty} e^{-\rho a^2} B_n(\alpha) da$$

integrált:

$$H_n(\rho) = \frac{\sqrt{\pi}}{2\rho^{3/2}} \int_0^{\infty} \eta e^{-\eta^2/4(1+\frac{1}{\rho})} I_n\left(\frac{1}{4} \eta^2\right) d\eta = \frac{1}{2} \frac{\sqrt{\pi}}{\rho} \frac{1}{\sqrt{1+2\rho}} \frac{(2\rho)^n}{(1+\sqrt{1+2\rho})^{2n}}.$$

Ez utóbbi képletet felhasználhatjuk a  $B_n(\alpha)$  értékek explicit meghatározására. A  $H_n(\rho)$  függvényekre, mint Laplace-transzformáltakra alkalmazva ugyanis az invertálás ismert technikáját, az első három  $B_n(\alpha)$  együtthatóra a következő kifejezéseket kapjuk:

$$B_0(\alpha) = \sqrt{\frac{\pi}{2}} \alpha e^{-\alpha^2/4} I_0(\alpha^2/4),$$

$$B_0 - B_1 = \sqrt{\frac{\pi}{2}} \alpha^3 e^{-\alpha^2/4} \left[ I_0\left(\frac{\alpha^2}{4}\right) + I_1\left(\frac{\alpha^2}{4}\right) \right] - 2\alpha^2,$$

$$B_0 - B_1 - 3(B_1 - B_2) = 4\alpha^2 (B_0 + B_1 - 1).$$

A további  $B_n$  számokat rekurziós képletből fogjuk kiszámítani. Először a  $H'_{n+1} + H'_{n+2}$  kifejezést vizsgáljuk meg:

$$\begin{aligned}
 H'_{n+1} + H'_{n+2} &= \frac{d}{dp} \left\{ \sqrt{\frac{\pi}{p}} \frac{(2p)^{n+1}}{(1+\sqrt{1+2p})^{2n+3}} \right\} = \\
 &= (2n+1) \sqrt{\frac{\pi}{p}} \frac{(2p)^n}{(1+\sqrt{1+2p})^{2n+3}} - (2n+3) \sqrt{\frac{\pi}{p}} \frac{1}{\sqrt{1+2p}} \frac{(2p)^{n+1}}{(1+\sqrt{1+2p})^{2n+4}} = \\
 &= (2n+1) \frac{1}{4} (H_n - H_{n+1} - H_{n+2} + H_{n+3}) - (2n+3) \frac{1}{2} [H_{n+1} - 2H_{n+2} + H_{n+3}]
 \end{aligned}$$

Ebból rendezés után differencia-differenciálegyenletet nyerünk:

$$(2n+1)(H_n - H_{n+1}) - 2(2n+3)(H_{n+1} - H_{n+2}) + (2n+5)(H_{n+2} - H_{n+3}) = 4(H'_{n+1} + H'_{n+3})$$

Elvégezve a „p” szerinti inverziót,  $B_n(a)$  rekurziós képletét nyerjük:

$$(2n+1)(B_n - B_{n+1}) - 2(2n+3)(B_{n+1} - B_{n+2}) + (2n+5)(B_{n+2} - B_{n+3}) = -4a^2(B_{n+1} + B_{n+3}).$$

Megjegyezzük, hogy a  $B_n(a)$  számok hipergeometriai függvényekkel is kifejezhetők. Ha a  $H_n$  kifejezést hipergeometriai függvénnyel írjuk fel:

$$H_n(p) = \frac{1}{2} \sqrt{\frac{\pi}{p}} (p/2)^n {}_2F_1\left(n + \frac{1}{2}, n+1; 2n+1; -2p\right)$$

majd erre alkalmazzuk a reciprok átalakítást:

$$H_n(p) = \frac{1}{2} \sqrt{\frac{\pi}{2}} \left[ \frac{1}{p} {}_2F_1\left(n + \frac{1}{2}, -n + \frac{1}{2}; \frac{1}{2}; -\frac{1}{2p}\right) - \frac{n\sqrt{2}}{p^{3/2}} {}_2F_1\left(n+1, 1-n; 3/2; -\frac{1}{2p}\right) \right]$$

végül tagonként elvégezzük az invertálást, az alábbi eredményt kapjuk:

$$\begin{aligned}
 B_n(a) &= \sqrt{\frac{\pi}{2}} \cdot a \cdot {}_2F_2\left(n + \frac{1}{2}, -n + \frac{1}{2}; \frac{1}{2}, \frac{1}{2}; -\frac{a^2}{4}\right) - \\
 &\quad - 2na^2 {}_2F_2\left(n+1, -n+1; 3/2, 3/2; -\frac{a^2}{4}\right).
 \end{aligned}$$

Rátérve a /2/ Csebisev sor konvergenciájának vizsgálatára,  $B_n(a)$  aszimptotikus alakját határozzuk meg  $n \rightarrow \infty$  esetére. A  $B_n(a)$  kifejezés Laplace-transzformáltja segítségével az alábbi Mellin-integrállal adható meg:

$$B_n(a) = \frac{a}{i\sqrt{2\pi}} \int_{\sigma-i\infty}^{\sigma+i\infty} \frac{(2p)^{n-\frac{1}{2}}}{(1+\sqrt{1+2p})^{2n}} \frac{e^{a^2 p}}{\sqrt{1+2p}} dp.$$

Erre az integrálra alkalmaztuk a nyeregpont módszert, és a következő eredményt nyertük:

$$B_n(\alpha) = e^{-\mu n^{2/3}} O(n^{-1/3}), \quad n \rightarrow \infty,$$

$$\mu = 3 \cdot 2^{-4/3} \left\{ 1 - i \frac{\sqrt{3}}{2} \right\}.$$

#### 4/ Numerikus alkalmazás

Az  $F(x)$  függvény Csebisev sorainak együtthatóit /az  $A_n$  és  $B_n$  számokat/ csökkenő  $n$ -ek irányában haladó rekurzióval határoztuk meg /Miller módszer/.

A  $B_n$  számok rekurzív számítása közvetlenül a Miller módszerrel nem volt eredményes. K.A. Karpov volt szives felhívni a figyelmemet arra, hogy oszcilláló "Miller sorozat" esetén C.W. Clenshaw módszere célszerű lehet. E módszer [6] lényege az, hogy a  $B_n(\alpha)$  számok rekurziós képletét megoldjuk két  $\alpha_n$  és  $\beta_n$  /"Miller sorozatra" csökkenő „n”-ek irányában, az

$$\begin{aligned} \alpha_N &= \varepsilon, & \alpha_{N+1} &= \alpha_{N+2} = 0, \\ \beta_N &= \sigma, & \beta_{N+1} &= \beta_{N+2} = 0, \end{aligned} \quad \varepsilon \neq \sigma,$$

kezdő értékekkel indulva, majd  $\alpha_n$  és  $\beta_n$  lineáris kombinációját képezzük:

$$B_n \sim A \alpha_n + B \beta_n.$$

Az A és B számok meghatározhatók pl. a

$$\begin{aligned} B_0 + 2 \sum_{n=1}^{\infty} B_n &= 1, \\ B_0 + 2 \sum_{n=1}^{\infty} (-1)^n B_n &= \alpha F(\alpha) \end{aligned}$$

egyenletek segítségével.

A numerikus számítást  $\alpha=4$  esetre végeztük el, és az  $A_n$  ill.  $B_n$  számokat az I. ill. II. táblázatban adjuk meg. Az /1/ és /2/ sorok alapján programot készítettünk az  $F(x)$  függvény értékeinek generálására az URAL I. elektronikus számológépen. A program jól működött.

A szerző köszönetet mond K.A. Karpovnak említett megjegyzéséért, továbbá Vizi Margitnak a gépi program elkészítésénél nyújtott segítségéért.

Táblázat

I.

II.

n	$A_n = \frac{1}{2} \int_0^1 e^{-4u} I_n(4u) \frac{du}{(1-u)^{1/2}}$	n	$B_n = \int_0^{\infty} \sin 4\eta e^{-\frac{1}{4}\eta^2} I_n\left(\frac{1}{4}\eta^2\right) d\eta$
0	0,313308 687321 3	0	1,037753 737286 0
1	0,376701 240299 6	1	-0,040410 793983 8
2	0,189096 408228 4	2	3012 302377 6
3	79883 897938 8	3	- 397 020838 1
4	28794 703729 6	4	33 764492 9
5	8988 283306 1	5	14 787228 6
6	2463 535049 7	6	- 7 919853 1
7	600 172331 2	7	599501 5
8	131 352910 1	8	- 784742 3
9	26 063020 4	9	- 191892 0
10	4 725630 9	10	- 88826 7
1	788341 1	1	32757 5
2	121723 2	2	13621 1
3	17486 4	3	- 4991 3
4	2348 0	4	- 2701 5
5	295 9	5	630 4
6	35 1	6	594 3
7	3 9	7	- 26 2
8	4	8	- 125 4
		9	- 21 9
		20	21 6
		1	10 6
		2	- 1 8
		3	- 3 0
		4	- 6
		5	5
		6	3
			F(4) = 0,270396 295813 9
			F(4) = 0,270396 295813 4



I r o d a l o m

- [1] Natanszon, I.P.: Konstruktiv függvénytan.  
Akadémiai Kiadó, Bp. /145.old./
- [2] Lohmander, B. and Rittsen, S.: Table of the Function  $y = e^{-x^2} \int_0^x e^{t^2} dt$ .  
Lund 1958.8.p. /From Fyslogr. Sällsk. Lund<sup>o</sup>  
Förhdl./ 28, 45-52, /1958/
- [3] Карпов, К.А.: Таблицы функции  $\omega(z) = e^{-z^2} \int_0^z e^{t^2} dt$  в комплексной  
области. АН СССР, Москва (1954).
- [4] Hummer, D.G.: Expansion of Dawson's Function.  
Math. of Comput. 18, 317 /1964/
- [5] Wadsworth, D. van Z.: Improved Asymptotic Expansion for the  
Error Function with Imaginary Argument.  
Math. of Comput. 18, 662 /1964/
- [6] Clenshaw, C.W.: The Numerical Solution of Linear Differential  
Equations in Chebyshev Series.  
Proc.Camb. Philos. Soc. 53, /1957/

A KÉPZETES ARGUMENTUMÚ, NULLA INDEXŰ BESSEL-FÜGGVÉNY PRIMITIV FÜGGVÉNYÉNEK  
MEGKÖZELÍTÉSE

Irtta: Németh Géza

Összefoglalás

A dolgozatban 9 decimális jegyre pontos polinom közelítéseket adunk meg az  $\int_0^x I_0(t) dt$  integrál kiszámításához /melyben  $I_0(t)$  a képzetes argumentumu Bessel-függvényt jelöli/.

Polinom approximációkat készítettünk az

$$F(x) = \int_0^x I_0(t) dt$$

függvény, a képzetes argumentumu Bessel-függvény integráljának kiszámításához.

A numerikus analízis irodalmában A.J.M.Hitchcock [1] és Y.L.Luke [2] foglalkoztak Bessel-függvények integráljának approximációjával.

Az alábbiakban az URAL I. gép számábrázolásának megfelelő pontosságu képleteket adunk meg  $F(x)$  -re. A  $0 \leq x < \infty$  intervallumot két részre osztottuk,  $([0, 8], [8, \infty))$  és olyan alakú közelítést határoztunk meg, amely az argumentum kis értékeinél az

$$F(x) = x \sum_{n=0}^{\infty} \frac{x^{2n}}{(n!)^2 (2n+1)}, \quad |1|$$

majd az argumentum nagy értékeinél az

$$F(x) \sim \frac{e^x}{\sqrt{2\pi x}} \sum_{n=0}^{\infty} \frac{\Gamma(n+1/2)}{\Gamma(1/2)} \cdot \frac{\rho_n}{x^n}, \quad x \rightarrow \infty \quad |2|$$

$$\rho_n = \frac{1}{\pi} \int_0^1 \omega^{-1/2} (1-\omega)^{-1/2} \frac{1 - (\omega/2)^{n+1}}{1-\omega/2} d\omega \quad |3|$$

alaku sorfejtéshez illeszkedik.

Az /1/ sor részletösszege helyett az

$$F(x) = x \left\{ A_0 + 2 \sum_{n=1}^{\infty} A_n I_{2n}(x/8) \right\}, \quad 0 \leq x \leq 8 \quad /4/$$

Csebisev sorfejtés részletösszegét vettük. Az  $A_n$  számokat az

$$A_n + A_{n+1} = \frac{1}{2n+1} \left\{ I_n^2(4) - I_{n+1}^2(4) \right\}, \quad n = 0, 1, 2, \dots \quad /5/$$

rekurziós képlet segítségével határoztuk meg, a numerikus számítást csökkenő „n”-ek irányában végrehajtva. / A /4/ és /5/ képletekben  $I_n(x)$  a Csebisev polinomot  $I_n(x)$  a képzetes argumentumu Bessel-függvényt jelöli [3] /. A /4/ sor 11 tagu részletösszegét polinommá rendeztük, és az alábbi közelítést nyertük:

$$F(x) = x \left\{ \sum_{n=0}^{10} a_n (x/8)^{2n} + h \right\}, \quad 0 \leq x \leq 8$$

$$\max_{0 \leq x \leq 8} |h(x)| \sim 5 \cdot 10^{-10}$$

Az  $a_n$  számokat az I. táblázatban adjuk meg.

Az  $x \geq 8$  esetben azt a tényt használtuk fel, hogy  $\rho_n \rightarrow 2^{1/2}, n \rightarrow \infty$  és így  $F(x)$  aszimptotikája erősen hasonlít az erfi  $(x)$  függvény aszimptotikájához.

Ezt a megjegyzést pontosabban fogjuk megfogalmazni.

Legyen

$$\psi(x) = \sqrt{2\pi x} e^{-x} F(x); \quad \varphi(x) = 2x^{1/2} e^{-x} \int_0^{x^{1/2}} e^{u^2} du.$$

Meg fogjuk mutatni, hogy  $\psi(x)$  és  $\varphi(x)$  között az alábbi kapcsolat áll fenn:

$$\psi(x) = \frac{1}{\pi} \int_0^1 \omega^{-1/2} (1-\omega)^{-1/2} \frac{\psi(x) - \frac{\omega}{2} \varphi\left(\frac{2x}{\omega}\right)}{1-\omega/2} d\omega \quad /6/$$

A /6/ reláció helyességét legegyszerűbben Laplace transzformációval láthatjuk be. Legyen  $\lambda/\sigma$ , és

$$\int_0^{\infty} \lambda^{-1/2} e^{-\lambda s} \varphi(\lambda/\sigma) d\lambda = \frac{\sqrt{\pi}}{\sigma} \int_0^1 \frac{1}{(s + \frac{1-u^2}{\sigma})^{3/2}} du = \sqrt{\frac{\pi}{s}} \frac{1}{1+\sigma s} \quad /7/$$

$$\int_0^{\infty} \lambda^{-1/2} e^{-\lambda s} \psi(\lambda/\sigma) d\lambda = \frac{\sqrt{2\pi}\sigma}{1+\sigma s} \int_0^1 e^{-\lambda(1+\sigma s)} I_0(\lambda) d\lambda = \sqrt{\frac{\pi}{s}} \frac{1}{(1+\sigma s)(1+\frac{1}{2}\sigma s)^{1/2}} \quad /8/$$

A /8/ integrál eredményét az

$$\frac{1}{(1+\frac{1}{2}\sigma s)^{1/2}} = \frac{1}{\pi} \int_0^1 \omega^{-1/2} (1-\omega)^{-1/2} \frac{1}{1+\frac{1}{2}\sigma s \omega} d\omega$$

integráلهőállítás segítségével az alábbi alakra hozhatjuk:

$$\frac{1}{\pi} \int_0^1 \omega^{-1/2} (1-\omega)^{-1/2} \frac{1}{1-\omega/2} \left\{ \sqrt{\frac{\pi}{s}} \frac{1}{1+\sigma s} - \frac{\pi}{s} \frac{1}{1+\frac{1}{2}\sigma s \omega} \cdot \frac{\omega}{2} \right\} d\omega$$

Ha ez utóbbi integrálban tagonként alkalmazzuk az inverz Laplace transzformációt, /7/ figyelembevételével kapjuk a kívánt /6/ relációt.

A /6/ relációt úgy alkalmazzuk  $\psi(x)$  megközelítésére, hogy  $\varphi(x)$  polinom közelítést helyettesítettük be az integrálba az  $x$  és a  $\frac{2}{\omega} x$  helyen, és  $\omega$  szerint tagonként integráltunk:

$$\psi(x) = \sum c_n \rho_n \sigma^n \quad /9/$$

A /9/ kifejezésben szereplő  $c_n$  számokat [4] munkánkban szereplő Csebisev polinom sorfejtés részletösszegéből számítottuk ki. Ezeket a számokat  $\rho_n$ -el szorozva, az alábbi közelítést nyertük:

$$F(x) = \frac{e^x}{\sqrt{2\pi} x} \left\{ \sum_{n=0}^{14} b_n \left(\frac{\theta}{x}\right)^n + k \right\}, \quad x \geq 8,$$

$$\max_{x \geq 8} |k(x)| \sim 1.10^{-9}$$

A  $b_n$  számokat a II. táblázatban adjuk meg.

### Köszönetnyilvánítás

A dolgozat eredeti címe "Az  $\int_0^x I_0(t) dt$  integrálról" volt. A jelenlegi cím Békéssy András lektori munkáját dicséri.

Táblázatok

I.

II.

n	$a_n$	n	$b_n$
0	1,00000000040	0	0,99999999892
1	5,33333323541	1	0,07812562226
2	12,80000391319	2	0,01569620490
3	16,25390750669	3	0,00661998921
4	12,64245769984	4	-0,02196681423
5	6,61756948531	5	0,22277357610
6	2,49589067776	6	-1,28879256328
7	0,69279642419	7	4,99544558946
8	0,16905745203	8	-13,16149673712
9	0,01778201395	9	23,76736004100
10	0,00766666342	10	-29,22811079273
		1	24,00109566448
		2	-12,59664191197
		3	3,82690494577
		4	-0,51287035389

I r o d a l o m

- [1] Hitchcock, A.J.M.: Polynomial Approximations to the Bessel functions of order zero and one and to related functions. M.T.A.C. 11, 86-88 /1957/
- [2] Luke, Y.L.: Integrals of Bessel functions. McGraw-Hill, London /1962/
- [3] Градитейн, И.С., Рижик, И.М.: Таблицы интегралов. Гос.Изд.Физ.Мат.Лит. (Москва) 1957.
- [4] Németh G.: Az  $e^{-x^{3/2}} \int_0^x e^{u^{3/2}} du$  függvény Csebisev sorfejtése. KFKI Közl. 14, 3-10 /1966/

Érkezett: 1965. okt. 10.

KFKI Közl. 14.évf. 1.szám, 1966.

## A FABRY-PEROT INTERFEROMÉTER GYÜRÜRENDSZERÉNEK KIÉRTÉKELÉSÉRŐL

Írta: Csillag László és Varga László

### Összefoglalás

Megvizsgáltuk, hogy a Fabry-Perot-féle interferométer gyűrűrendszerén hol célszerű rádiusz irányban elhelyezni a spektográf részét ahhoz, hogy a törtrendszámra a legkisebb szórású becslést kapjuk. Azt találtuk, hogy általában a középpontra szimmetrikus elhelyezést kell választani.

### Bevezetés

Kiterjedt monokromatikus fényforrás képe a Fabry-Perot-féle interferométer képsíkjában olyan koncentrikus körrendszer, amelynél a körök  $R_k$  sugarainak négyzetei számtani sorozatot alkotnak:

$$R_{k+1}^2 = R_k^2 + \Delta ; \quad (k=1,2,\dots) \quad |1|$$

A hullámhossz meghatározása szempontjából fontos  $\varepsilon$  törtrendszámot a belső kör sugarának és a  $\Delta$  növekménynek ismeretében a következő összefüggés szolgáltatja [1] :

$$\varepsilon = \frac{R_1^2}{\Delta} \quad |2|$$

A valóságban nem körrendszerrel van dolgunk. Különböző fizikai tényezők /a fényforrás által kisugárzott fény véges spektrális sáv szélessége, az interferométer apparatív vonalszélessége, a leképezés, a fotografikus rögzítés stb. hibái/ miatt az egyes köröknek elmosódott körgyűrűk felelnek meg. A körrendszeren végzett mérési eredményeink tehát véletlen hibákkal terheltek. A gyakorlatban felmerül az a kérdés, hogy a körrendszer melyik részét helyezzük el a spektográf részén, ha a törtrendszámot akarjuk meghatározni. Pontosabban a következőkről van szó:

Feltesszük, hogy egy adott hosszúságú réssel rendelkezünk, és a körrendszernek ezen a résen belüli részén tudunk csak mérést végezni, is-

merve a mérési eredményeink eloszlását, hol célszerű a körrendszeren elhelyezni a résünket ahhoz, hogy  $\xi$  -ra a legkisebb szórású becslést kapjuk? Ilyen általánosan a probléma matematikai tárgyalása igen bonyolult. A rés helyzetét így két paraméter jellemzi, és az  $\xi$  -ra kapott becslés szórását két paraméter függvényében kell diszkutálni. Gyakorlati szempontból az látszik lényegesnek, hogy rádiusz irányban hol célszerű elhelyezni a résünket? A törtrendszámra kapott becslés szórása így, mint a rés helyzetét jelző paraméternek a függvénye, egy lépcsős függvény. Elég tehát diszkrét réshelyezeteknél kiszámítani a szórás értékét. Mi ebben a tanulmányban három - a gyakorlati kiértékelésnél számításbajjövő - réshelyezetnél határoztuk meg a szórást:

- I. Középpontra szimmetrikus a rés helyzete;
- II. Középpontra aszimmetrikus a rés helyzete, de még a legbelső kört tartalmazza;
- III. Középpontra aszimmetrikus a rés helyzete, és a belső kört már nem tartalmazza.  
/ "Off centre" réselhelyezés/

A spektrográffal kombinált Fabry-Perot interferométernél, főként kis tükörtávolság és nagy fókusz távolságú leképező lencse használata esetén, a spektrográf részének hasznos tartományán csak egy-két gyűrű fér el. Ilyen esetekben R.Ritschl [2] és S.Tolansky [3] az "off centre" réselhelyezést javasolják. Vizsgálataink alapján mi azonban azt mondhatjuk, hogy ez a legrosszabb réselhelyezés.

#### A probléma matematikai tárgyalása

Méréskor a gyűrűk középvonalának kijelölésénél követjük el a legnagyobb hibát, és a már kijelölt távolságok mérésekor elkövetett hibát az előbbihez képest elhanyagolhatjuk. A gyűrűk középvonalának kijelölésekor elkövetett hiba szórása a valóságban függ a meghatározandó  $R_1$  és  $\xi$  paramétereiktől, sőt attól is, hogy hányadik gyűrűről van szó. Tapasztalataink alapján azonban ettől a függéstől eltekinthetünk, csupán leegyszerűsítve azt mondjuk, hogy a legbelső gyűrű középvonalának kijelölésekor elkövetett hiba szórásnégyzete kétszerese bármely másik gyűrűre vonatkozó hiba szórásnégyzetének. Feltesszük továbbá, hogy a gyűrű középvonalának kijelölésekor elkövetett hiba normális eloszlású valószínűségi változó, amelynek várható értéke zérus, és szórása kicsi, belső gyűrű esetén  $2\sigma^2$ , egyébként  $\sigma^2$ .

Tegyük fel, hogy egy adott réshelyzetnél  $n$  független mérést végezhetünk. Legyenek ezek a mérési értékek  $\eta_1, \dots, \eta_n$ . Jelölje ezeknek a várható értékét  $m_k$ :

$$m_k(R_1, \varepsilon) = \langle \eta_k \rangle; \quad (k = 1, 2, \dots, n) \quad |3|$$

és legyen a szórásmátrix  $\bar{M}$ . Ekkor a paraméterek becslésére szolgáló egyenleteink [4]:

$$\begin{aligned} \xi \quad \bar{M}^{-1} \bar{m}_1 &= 0 & ; \\ \xi \quad \bar{M}^{-1} \bar{m}_2 &= 0 & ; \end{aligned} \quad |4|$$

ahol a megfelelő vektorok komponensei:

$$\begin{aligned} \xi_k &= \eta_k - m_k & ; \\ m_{1k} &= \frac{\partial m_k}{\partial \varepsilon} & ; \\ m_{2k} &= \frac{\partial m_k}{\partial R_1} & ; \quad (k = 1, 2, \dots, n) \end{aligned} \quad |5|$$

Becsléseink szórása pedig jó közelítéssel:

$$\begin{aligned} \langle (\delta \varepsilon)^2 \rangle &= \frac{P_{22}}{P_{22} P_{11} - P_{12}^2} & ; \\ \langle (\delta R_1)^2 \rangle &= \frac{P_{11}}{P_{22} P_{11} - P_{12}^2} & ; \end{aligned} \quad |6|$$

ahol

$$P_{ij} = - \bar{m}_i \bar{M}^{-1} \bar{m}_j; \quad i, j = 1, 2$$

Méréseket a körök átmérőjére ( $2R_k$ ), valamint legbelső körtől mért távolságára ( $R_k - R_1$ ) fogunk végezni. Ezek a mennyiségek a legbelső kör sugarával és az  $\varepsilon$  törtrendszámmal /1/ és /2/ szerint a következőképpen fejezhetők ki:

$$\begin{aligned} 2R_k &= 2R_1 \sqrt{1 + \frac{k-1}{\varepsilon}} & ; \\ R_k - R_1 &= R_1 \left( \sqrt{1 + \frac{k-1}{\varepsilon}} - 1 \right) & ; \end{aligned} \quad (k = 2, 3, \dots) \quad |7|$$

Számozzuk a méréseinket a következőképpen:

Először növekvő index szerint vesszük az átmérőkre kapott méréseket ( $2R_1, 2R_2, 2R_3, \dots$ ), majd ugyancsak növekvő index szerint a bel-



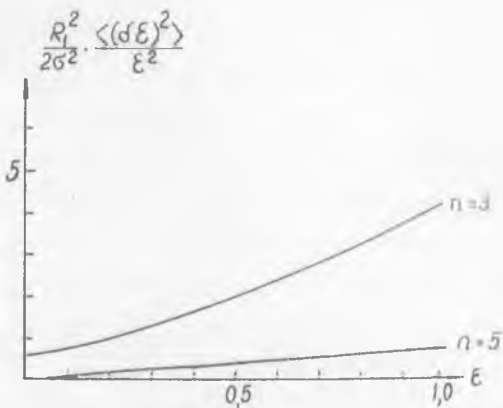
ső körtől mért gyűrűvastagságokat  $(R_2-R_1, R_3-R_1, \dots)$ . Ebben az esetben középpontra szimmetrikus réselhelyezésnél a méréseink szórás mátrixa az egyszerűsített feltevés mellett:

$$\bar{M} = \begin{pmatrix} 4 & 0 & 0 & 2 \\ 0 & 2 & 0 & 1 \\ 0 & 0 & 2 & 1 \\ 2 & 1 & 1 & 3 \end{pmatrix} \sigma^2 ;$$

A II. réselhelyezésnél elmarad a mátrixból a sűrűen bevonalazott rész /mivel csak egy átmérőt, a legbelsőt mérjük/, míg az "off centre" esetben a mátrix csak a vonalkázatlan részből áll.

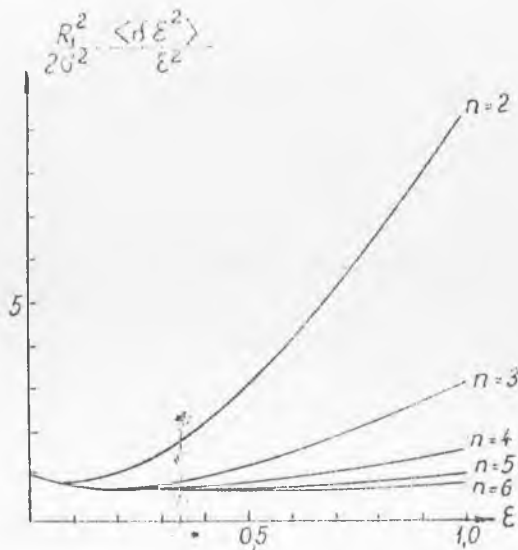
Numerikus eredmény

A törtrendsám becslésére - az I., I. és III. réselhelyezésnél - adódó relatív szórásnégyzeteket ábrázoltuk rendre az 1., 2. és 3. ábrán az  $\epsilon$  függvényében  $2\sigma^2/R_1^2$  egységekben mérve. Leolvasható az ábrákból, hogy amennyiben az I. réselhelyezésnél legalább három átmérőre tudunk mérést végezni, akkor ezt a réselhelyezést kell választani. Ha résünkkel nem tudunk befedni három átmérőt, akkor a II. réselhelyezéssel javíthatunk a becslésünkön. Az "off centre" réselhelyezés azonban nagyságrendileg nagyobb szórást ad.



1. ábra

Az  $\epsilon$  törtrendsám becslésének relatív szórásnégyzete középpontra szimmetrikus réselhelyezésnél  $n$  az összes lehetséges független mérések száma

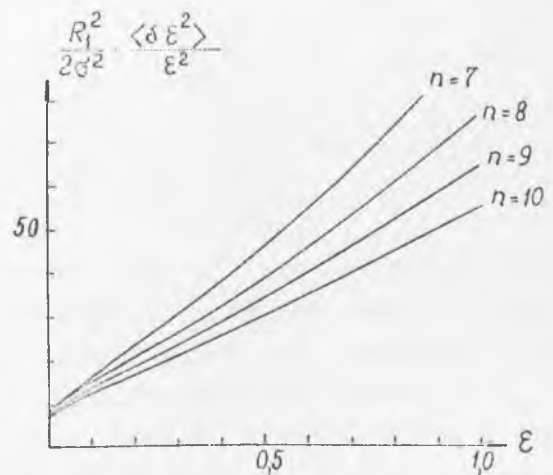


2. ábra

Az  $\epsilon$  becslésének relatív szórásnégyzete, ha a ré-sünk a középpontra aszimmetrikus, de a legbelső-átmérőt még tartalmazza.  $n$  az összes lehetséges független mérések száma

3. ábra

Az  $\epsilon$  becslésének relatív szórásnégyzete az "off centre" réselhelyezésnél.  $n$  az összes lehetséges független mérések száma.



I r o d a l o m

- [1] Meissner, W.E.: JOSA 31, 405 /1941/
- [2] Ritschl, R.: Zeitschr.f. Phys. 79, 1 /1932/
- [3] Tolansky, S.: High resolution spectroscopy, London 136-138 /1947/
- [4] Jánossy L.: Theory and practice of the evaluation of measurements, Oxford /1965/

Érkezett: 1965. okt. 10.

KFKI Közl. 14.évf. 1. szám, 1966.



# EXPONENCIÁLIS BOMLÁSGÖRBE PARAMÉTEREINEK EGY EGYSZERŰ MEGHATÁROZÁSÁRÓL

Írta: Varga László

## Összefoglalás

Statisztikus szempontból megvizsgáljuk az exponenciális komponensre bontás ún. Prony-féle módszerét a legegyszerűbb esetben: az egykomponensű bomlástgörbe paramétereinek meghatározásánál.

## Bevezetés

Gyakran felmerülő probléma az

$$f(t) = \sum_{i=1}^m A_i \exp(-\lambda_i t) \quad |1|$$

kifejezés  $A_i$ ,  $\lambda_i$  paramétereinek becslése az  $f(t)$ -re végzett mérések alapján. A feladat megoldására általában a legkisebb négyzetek módszerét alkalmazzák, amely iterációs eljárásra vezet. Az iterációs eljárásnak nagy hátránya az, hogy közelítő paraméterértékek szükségesek, amelyekhez hosszadalmas grafikus eljárással jutunk. "Prony-módszer" néven ismeretes [1] exponenciálisok összegére egy interpolációs eljárás, amely egyszerű, véges algoritmust szolgáltat a paraméterekre. Az eljárás a következő:

Ha  $f(t)$  /1/ alakú, akkor  $t$ -től függetlenül található olyan  $C_0, C_1, \dots, C_m$  amelyekre

$$C_0 f(t) + C_1 f(t+h) + \dots + C_m f(t+mh) = 0, \quad |2|$$

tetszőleges  $h > 0$  mellett, és ekkor a

$$C_0 + C_1 u + \dots + C_m u^m = 0 \quad |3|$$

pontosan  $m$ -edfoku polinom gyökei

$$u_i = \exp(-\lambda_i h); \quad i = 1, 2, \dots, m.$$

Az ismeretlen paraméterértékek száma  $2m$ . Ismernünk kell tehát az  $f(t)$  értékét  $2m$  helyen, mégpedig a /2/ egyenletnek megfelelően egymást  $h$  távolságra követő helyen, és ekkor  $C_i$ -k a következő lineáris egyenletrendszer megoldásaként adódnak:

$$C_0 f(t+ih) + C_1 f(t+(i+1)h) + \dots + f(t+(i+m)h) = 0 ; \quad /4/$$

$$(i=0, 1, \dots, m-1) ,$$

$C_{m-1}$  választás mellett. Ezután a /3/ egyenlet gyökeiből megkapjuk az exponenseket. Az exponensek ismeretében már bármelyik  $m$  darab függvényérték felhasználásával lineáris egyenletrendszer megoldásaként megkapjuk az  $A_i$ -ket.

Megjegyzés

Bomlászörbék esetében mindig integrális beütésszámot mérünk. Tagonként integrálva a /2/ egyenletet, meggyőződhetünk arról, hogy integrális beütésszám mérése esetén is változatlanul alkalmazható a fenti módszer. Legyen  $T$  a mérési idő, amelyet  $2m$  egyenlő részre osztunk fel, és legyen

$$F(i) = \int_0^{T/2m} f(t+iT/2m) dt ; \quad (i=0, 1, \dots, 2m-1) , \quad /5/$$

ekkor a  $C_i$ -k meghatározására szolgáló egyenletrendszer:

$$C_0 F(i) + C_1 F(i+1) + \dots + F(i+m) = 0$$

$$(i=0, 1, \dots, m-1) \quad /6/$$

A /3/ polinom gyökei pedig:  $u_i = \exp(-\lambda_i T/2m)$

Ha  $2m$ -nél több mérési pontunk van, akkor az interpolációs eljárásoknál a  $C_i$ -k meghatározására felírják az összes lehetséges egyenleteket, és az így nyert túlhatározott egyenletrendszert a legkisebb négyzetek módszerével oldják meg. Ezt találjuk pl. Whittaker és Robinson [1] könyvében is. Kérdés azonban, hogy valamely kiválasztott paraméter szempontjából ilyen módon javítható-e a becslés? Mi ebben a dolgozatban a legegyszerűbb esetben, az egykomponensű bomlászörbé esetében megmutatjuk, hogy a bomlási állandó becslésére általában az a hatásosabb becslés, amikor a mérési időt két részre osztjuk fel. A mérési időnek 2-nél több egyenlő részre történő felosztásával kapott in-

formációt a túlhatározott egyenletrendszernek a legkisebb négyzetek módszerével történő megoldása rosszul használja fel.

A becslések szórása

Osszuk fel tehát az adott  $\tau$  mérési intervallumot  $n$  egyenlő részre. Legyen  $\xi_i$  az  $F(i)$  mért értéke  $i=0,1,\dots,n-1$ . Feltesszük, hogy  $\xi_i$  Poisson eloszlást követ  $F(i)$  várható értékkel. Egyetlen komponens esetében figyelembe véve /3/-at, a /6/ egyenletrendszer legkisebb négyzetek módszerével történő megoldása a

$$\bar{\lambda} = -\frac{n}{\tau} \ln \left( \sum_{i=0}^{n-2} \rho_i \frac{\xi_{i+1}}{\xi_i} \right); \quad \sum_{i=0}^{n-2} \rho_i = 1, \quad /7/$$

becslőfüggvény alkalmazásának az a speciális esete, amikor  $\rho_i = 1/(n-1)$  valamennyi  $i$ -re. Itt  $\bar{\lambda}$  -al a bomlási állandó becsült értékét jelöltük. Mi optimális súlyok mellett fogjuk kiszámítani  $\bar{\lambda}$  szórását, amely tehát annak felel meg, hogy a /6/ túlhatározott egyenletrendszert súlyozott legkisebb négyzetek módszerével oldjuk meg.

Feltételezve, hogy nagy beütésszámot mérünk, azaz  $\xi_i$  valószínűségi változó relatív szórása minden  $i$ -nél kicsi, jó közelítéssel érvényes a szórásra, hogy

$$\frac{\langle (\sigma \bar{\lambda})^2 \rangle}{\lambda^2} = \left( \frac{n}{x} \right)^2 \frac{1+u}{u F(0)} \sum_{i=0}^{n-2} \rho_i^2 \frac{1}{u_i}, \quad /8/$$

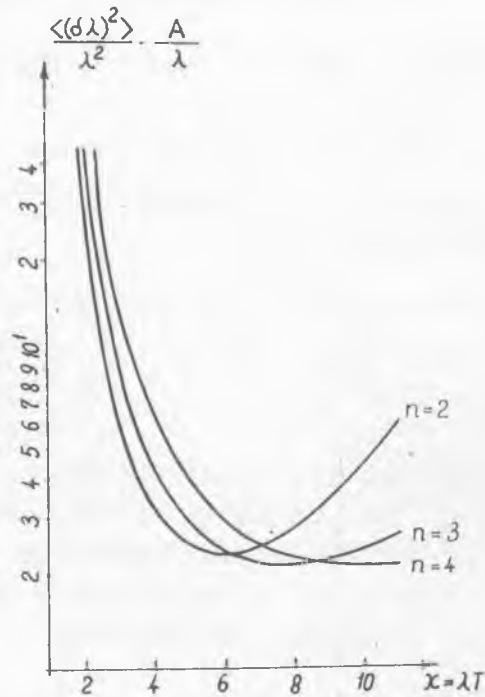
ahol  $x = \lambda \tau$  és  $u = \exp(-x/n)$ . Ez a kifejezés minimumát a

$$\rho_i = \frac{u^i}{\sum_{k=0}^{n-2} u^k} \quad /9/$$

súlyok mellett veszi fel. Ezek a súlyok tartalmazzák az ismeretlen paramétert, nem célszerű tehát velük képezni a /7/ becslőfüggvényt. Alkalmask azonban arra, hogy a /7/ alakú becslések szórásának minimumát felírjuk:

$$\frac{\langle (\sigma \bar{\lambda})^2 \rangle}{\lambda^2} = \frac{\lambda}{A} \left( \frac{n}{x} \right)^2 \frac{1 + \exp(x/n)}{1 - \exp(-(n-1)x/n)} \quad /10/$$

Ezeket a relativ szórásgörbéket mutatja az 1. ábra. Megállapíthatjuk,



1. ábra

hogy /7/ alaku becslőfüggvény esetén a felosztás számának növelésével általában nem javítható a becslés. Még optimális súlyok alkalmazása esetén is az a hatásosabb becslés, amelynél a mérési időt két részre osztjuk fel. Kis  $x$  értékek esetén a szórás a felosztás számával arányosan nő. Nagy  $x$  értékek esetén elvileg ugyan már nem a két részre történő felosztás adja a legjobb becslést, ha azonban ilyenkor lerövidítjük a mérési intervallumunkat úgy, hogy csak az első két mérési eredményt tartjuk meg, akkor a becslésünk szórása csak lényegtelenül növekszik.

#### I r o d a l o m

- [1] Whittaker, E.T., Robinson G.: The Calculus of Observations, Glasgow, p.369. /1944/

Érkezett: 1965. nov. 19.

KFKI Közl. 14.évf. 1.szám, 1966.

## MONOKROMATIKUS HIDEG NEUTRONOK ELŐÁLLÍTÁSA EGYKRISTÁLYOKKAL.

Irta: Gordon János

### Összefoglalás

Mértük magnetit, germánium egykristályokról és csillámlemez csomagról reflektált monokromatikus nyaláb intenzitását és hullámhossz-felbontását. A magnetit egykristály különösen alkalmas  $\frac{d\lambda}{\lambda} \sim 2\%$  felbontású hideg neutronnyaláb előállítására.

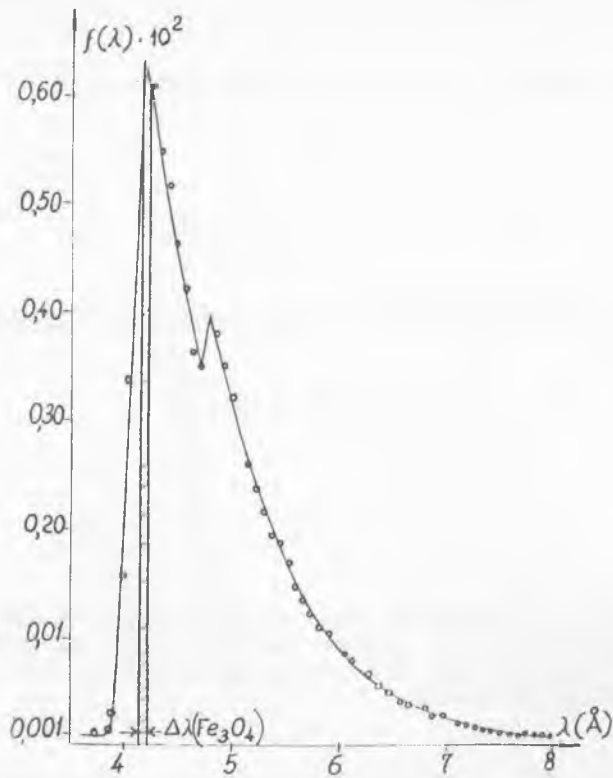
Szilárdtestfizikai kutatásokban gyakran szükséges kis energiájú ( $E \leq 5 \cdot 10^{-3} \text{ eV}$ ) monokromatikus neutronnyaláb előállítása. Ilyen feladat adódik kritikus állapotú anyag vizsgálata esetén is, ahol a kritikus állapot energetikailag instabil, ezért a bemenő nyaláb által közölt energia csak igen kicsi lehet.

Kis energiájú neutronok monokromatizálásánál nagy rácsállandóju, jó reflektivitású kristály szükséges. Annak feltétele, hogy a szórt nyaláb  $90^\circ$ -nál kisebb szögben detektálható, de a direkt nyalábtól még könnyen elválasztható legyen az, hogy reflektáló hálózati síkok távolsága  $3\text{Å} \leq d \leq 20\text{Å}$  tartományba essen, ha a neutron-energia  $= 5 \cdot 10^{-3} \text{ eV}$ . Megfelelően nagyméretű egykristályok száma meglehetősen korlátozott. Három kristály fajtát próbáltunk ki:

- 1/ Természetes magnetit kristályt; ( $d_{111} = 4,85\text{Å}$ )
- 2/ Hasadási síkjaival párhuzamosan pakolt természetes muszkovit-csillám köteget; ( $d_{001} = 9,96\text{Å}$ )
- 3/ Mesterségesen növesztett 3 cm átmérőjű, 5 mm vastag germánium egykristályt ( $d_{111} = 3,27\text{Å}$ )

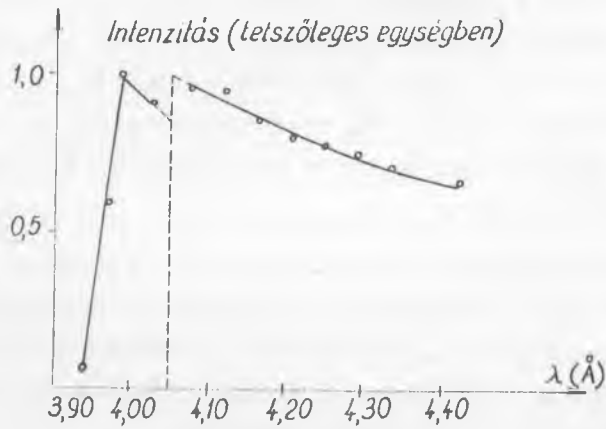
A vizsgálatokhoz berilliummal szűrt neutronnyalábot használtunk fel. A beeső neutronnyaláb hullámhossz-eloszlását repülési idő módszerrel mértük.





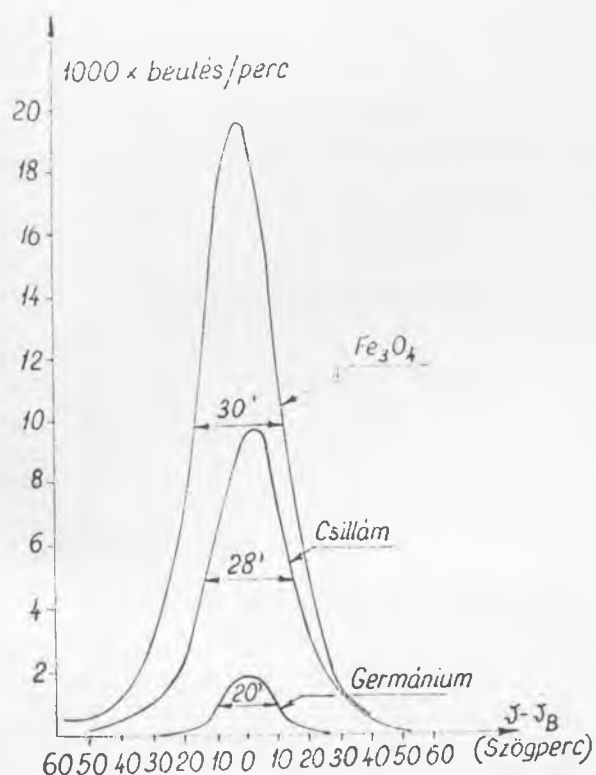
1. ábra

A beeső neutron nyaláb hullámhossz-eloszlása repülési módszerrel mérve



2. ábra

A beeső nyaláb hullámhossz-eloszlása Ge egykristállyal mérve



3. ábra

Egykristályok forgatási görbéje

	Magnetit	Csillám	Germánium
$\delta\lambda/\lambda$	2 %	4 %	0,7 %
$J_r/J_0$	20 %	4 %	7 %

Következtetés

Lassu neutronok monokromatizálására mindhárom kristály alkalmas. Nagy reflektivitása és viszonylag jó felbontás miatt legkedvezőbb esetünkben a magnetit. Az általunk vizsgált darab felbontóképessége háromszorosán felülmúlja az irodalomban publikáltét. A germánium alkalmazása ott előnyös, ahol rendkívül jó felbontóképességre van szükség. A csillámlemezek reflektivitása és felbontóképessége egyaránt gyengébb, mint az összehasonlított kristályoké, igen egyszerű előállításuk és jó intenzitás-hozama miatt mégis jól alkalmazható.

Az alkalmazott Soller-kollimátorok szögdivergenciája : 20-szögperc. A bemenő nyaláb csúcs intenzitása 3x3 cm<sup>2</sup>-es detektor felületen: 1,7.10<sup>6</sup> neutron/perc.

Rögzített detektorral, a kristályok elforgatásával nyert forgatási görbéket a 3. ábra mutatja.

Legyen a reflektált csúcshintenzitások aránya a  $\delta\lambda$  sávba eső bemenő neutron-intenzitáshoz:  $J_r/J_0$  és  $\delta\lambda/\lambda = \text{ctg } \mathcal{J} \delta \mathcal{J}$  a hullámhosszfelbontóképesség, ahol  $\mathcal{J} \delta \mathcal{J}$  a forgatási görbe félérték-szélessége, akkor az így definiált felbontóképesség és luminozitás adatokat az alábbi táblázat tartalmazza:

Köszönetnyilvánítás

Köszönetem fejezem ki Szebeni Péternek, a TÁKI munkatársának és Ravasz Csabának a Nemzeti Múzeum munkatársának a kölcsönadott kristályokért, továbbá Krén Emilnek és Szabó Pálnak a Szilárdtestfizikai Laboratórium munkatársainak az orientációs munkálatok elvégzéséért.

I r o d a l o m

McReinolds, A.W.: Phys. Rev. 88, 958 /1952/

Stiller, H.H., Danner, H.R.: Proc. on the Inelastic Scattering on Solids and Liquids, Vienna, 1960, 363.

Érkezett: 1965. szept. 6.

KFKI Közl. 14.évf. 1.szám, 1966.

## KRITIKUS SZÓRÁSVIZSGÁLÓ BERENDEZÉS SZÖGFELBONTÓKÉPESSÉGE

Írta: Gordon János és Sólyom Jenő

### Összefoglalás

Mágneses anyagok Curie-pont környéki viselkedésének tanulmányozására jól felhasználható a termikus és hideg neutronok kisszögű szórása. Megmutatjuk, hogy az intenzitás szögfüggése közelítőleg megegyezik a hatáskeresztmetszetével, ha az alkalmazott kollimátorok vízszintes és függőleges szögdivergenciája kicsi a szórási szöghöz képest; a korrekció kisebb, mint  $(\xi/\mathcal{V})^2$ , ha  $\xi_2 = 2\xi_1$ , ahol  $\xi_1$  a vízszintes,  $\xi_2$  a függőleges szögdivergencia és  $\mathcal{V}$  a szórási szög.

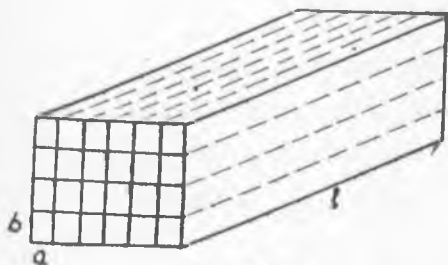
Kritikus állapotú ferromágneses mintán történő neutron szórás vizsgálatok felvilágosítást nyújtanak ferromágneses anyagok szuszceptibilitásának Curie-pont feletti viselkedésére [1], [2], [3], [4], [5]. A jelen dolgozat célja a berendezés felbontóképességével kapcsolatos korrekciók számítása.

A kísérleti elrendezésben a monokromatikus lassu neutronyaláb előbb egy primér kollimátoron halad át, ami a beeső hullámvektorok szögtartományát szabja meg, majd a megfelelő hőmérsékletre hevített mintáról szórt nyalábban egy szekundér kollimátor határozza meg a vektorok szögtartományát; végül a szórt nyaláb a detektorban abszorbeálódik.

Mindkét kollimátor hossza  $l$  és egymástól  $a$  távolságra vízszintes és  $b$  távolságban elhelyezett függőleges, párhuzamos lemezsorból áll.

A szórt intenzitás eloszlását az

$$J(\chi, k_0, \mathcal{V}) = \int_{\Omega_1^0}^{\Omega_1^0} \int_{\Omega_2^0}^{\Omega_2^0} \int_{F^0}^F \frac{d\sigma}{d\Omega} d\Omega_1 d\Omega_2 dF$$



1. ábra

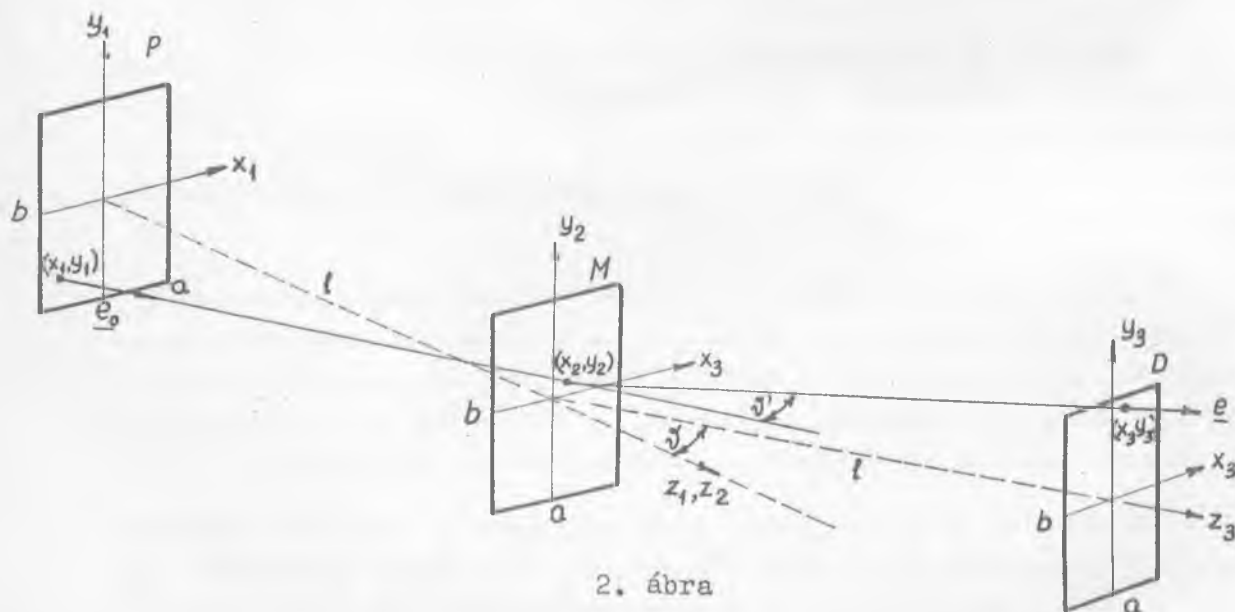
integrál adja, ahol  $F^0 = a \cdot b$ . A tovább-

biakban célunk a primér és szekundér kollimátorok által meghatározott  $\Omega_1, \Omega_2$  térszögek olyan megválasztása, amelyek mellett a  $\kappa_1$  paraméter meghatározása egyszerű módszerekkel keresztülvihető.

Számításainkban feltesszük, hogy

- a/ a primér neutron-intenzitás izotróp szögeloszlású / legalább is a kollimátor által megengedett kis szögtartományban/;
- b/ a kollimátor-lemezek tökéletes neutron-abszorbensek;
- c/ a minta és a detektor felületének síkja olyan közel esik a megfelelő kollimátor kimenetekhez, hogy azok bármelyik pontjára csak egyetlen kollimátor-résből érkeznek neutronok.

Jelölje  $P$  a primér kollimátor bemenő síklapját,  $M$  a minta síkfelületét és  $D$  a detektorét. Az előzők szerint elég ezeknek egy kollimátor-réssel szemben fekvő tartományát vizsgálni.



2. ábra

A bejövő neutron hullámvektorának  $\underline{e}_0$  egységvektora mutasson az  $(x_1, y_1)$  pontból az  $(x_2, y_2)$  pont felé, a szórt neutronok egységvektora pedig mutasson  $(x_2, y_2)$ -ből  $(x_3, y_3)$ -ba. Határozzuk meg a tényleges  $\nu'$  szórási szöget a berendezéssel beállított  $\nu$  effektív szórási szög és az előbbi koordináták függvényében.

Ebből a célból az  $x_1, y_1, z_1$  koordináta-rendszer  $\underline{e}_1, \underline{e}_2, \underline{e}_3$  egységvektoraival kifejezzük  $\underline{e}_0$ -t és  $\underline{e}$ -t:

$$\underline{e}_0 = \frac{(x_2 - x_1) \underline{e}_1 + (y_2 - y_1) \underline{e}_2 + l \underline{e}_3}{\left[ (x_2 - x_1)^2 + (y_2 - y_1)^2 + l^2 \right]^{1/2}}$$

$$\underline{e} = \frac{(l \sin \vartheta + x_3 \cos \vartheta - x_2) \underline{e}_1 + (y_2 - y_1) \underline{e}_2 + (l \cos \vartheta - x_3 \sin \vartheta) \underline{e}_3}{\left[ (l \sin \vartheta + x_3 \cos \vartheta - x_2)^2 + (y_2 - y_1)^2 + (l \cos \vartheta - x_3 \sin \vartheta)^2 \right]^{1/2}}$$

Bevezetjük a  $\xi_i = \frac{x_i}{a}$ ,  $\eta_i = \frac{y_i}{b}$  ( $i=1,2,3$ ) új változókat és két kis

paramétert:  $\varepsilon_1 = \frac{a}{l}$ ,  $\varepsilon_2 = \frac{b}{l}$

majd  $|\underline{e}_0 \times \underline{e}|^2 = \sin^2 \vartheta' \approx \vartheta'^2$  et  $\varepsilon_j \ll 1$  ( $j=1,2$ ) kis paraméterek szerint sorba

fejtjük és a sorfejtésben másodrendig megyünk el.

$$\begin{aligned} |\underline{e}_0 \times \underline{e}|^2 &\approx \vartheta'^2 \approx \vartheta^2 + \varepsilon_1 2 \vartheta (\xi_3 - 2\xi_2 + \xi_1) + \\ &+ \varepsilon_1^2 (\xi_3 - 2\xi_2 + \xi_1)^2 + \varepsilon_2^2 (\eta_3 - 2\eta_2 + \eta_1)^2 + \sigma(\varepsilon^2 \vartheta) \end{aligned}$$

A számítást statikus közelítésben végezzük.

Statikus közelítésben a hatáskeresztmetszet [1],

$$\frac{d\sigma}{d\Omega} = \text{konst} \frac{1}{\kappa_1^2 + k_0^2 \vartheta^2} \quad \text{ahol} \quad \kappa_1^2 = \frac{\text{const}}{\chi}; \chi \text{ a ferromágneses szusz-}$$

ceptibilitás és  $k_0$  a beeső neutronok hullámvektora. ( $k_0 = \frac{2\pi}{\lambda_0}$ )

Beírva a hatáskeresztmetszet kifejezésébe és itt is másodren-  
dig sorba fejtve

$$\begin{aligned} \frac{d\sigma(\vartheta')}{d\Omega} &= \frac{\text{Konst}/k_0^2}{(x_1/k_0)^2 + \vartheta^2} \left\{ 1 - \varepsilon_1 \frac{2\vartheta(\xi_3 - 2\xi_2 + \xi_1)}{(x_1/k_0)^2 + \vartheta^2} + \right. \\ &+ \varepsilon_1^2 \left[ \left( \frac{2\vartheta(\xi_3 - 2\xi_2 + \xi_1)}{(x_1/k_0)^2 + \vartheta^2} \right)^2 - \frac{(\xi_3 - 2\xi_2 + \xi_1)^2}{(x_1/k_0)^2 + \vartheta^2} \right] - \varepsilon_2^2 \frac{(\eta_3 - 2\eta_2 + \eta_1)^2}{(x_1/k_0)^2 + \vartheta^2} \end{aligned}$$

A koordináta rendszer választása miatt  $-\frac{1}{2} \leq \xi_i \leq \frac{1}{2}$ ,  $-\frac{1}{2} \leq \eta_i \leq \frac{1}{2}$  a határok közt integrálva:

$$J = \int_{\xi_1=-1/2}^{1/2} \dots \int_{\eta_3=-1/2}^{1/2} \frac{d}{d\Omega} \sigma(\xi_1, \dots, \eta_3; \mathcal{J}, \kappa_1, k_0) d\xi_1 \dots d\eta_3 \approx$$

$$J \approx \frac{\text{const}}{\kappa_1^2 + k_0^2 \mathcal{J}^2} \left[ 1 - \frac{\xi_1^2}{\mathcal{J}^2} Q\left(\frac{b}{a}\right) \right], \text{ ahol } Q\left(\frac{b}{a}\right) = \frac{1}{2} \frac{1 + \left(\frac{b}{a}\right)^2}{1 + \Delta} - 2 \frac{1}{(1 + \Delta)^2}$$

és 
$$\Delta = \left( \frac{\kappa_1}{k_0 \mathcal{J}} \right)^2$$

A véges kollimációból eredő korrekció tényezője:  $Q$  második közelítésben eltűnik, ha

$$\frac{b}{a} = \left[ \frac{4}{1 + \Delta} - 1 \right]^{1/2}$$

Például a Curie-hőmérsékleten  $\kappa_1 = 0$ , ezért  $\Delta = 0$  és  $Q = 0$ , ha  $b = a\sqrt{3}$ .  
 $b = 2a$  választásnál  $Q \leq 0,78$  minden  $\Delta$ -ra, ezért a teljes korrekció  $\mathcal{J} > \varepsilon$  esetén kisebb, mint  $0,78 \left(\frac{\xi_1}{\mathcal{J}}\right)^2$ .

### I r o d a l o m

- [1] Van Hove, L.: Phys. Rev. 95, 1374 /1954/
- [2] Gersh, H.A., Shull, C.G., Wilkinson, M.K.: Phys.Rev, 103, 525 /1956/
- [3] Jacrot, B., Constantinovic, J., Parette, G., Cribier, D.: Inelastic Scattering of Neutrons in Solids and Liquids /IAEA/ Vienna, 1963
- [4] Passel, L., Blinowski, K., Nielsen, P., Brun, T.: International Conference on Magnetism, Nottingham, 1964.
- [5] Möller, B., Blinowski, K., Mackintosh, T., Brun, T.: International Conference on Magnetism, Nottingham, 1964

Érkezett: 1965. okt. 22.

KFKI Közl. 14.évf. 1.szám, 1966.

## MONOKROMÁTOROK TRANZMISSZIÓKÉPESSÉGÉNEK MÉRÉSE, MONOKROMATIKUS, SIKBAN POLARIZOTT BELÉPŐ FÉNY ESETÉN

Irta: Kántor Károly és Salamon Tamás

### Összefoglalás

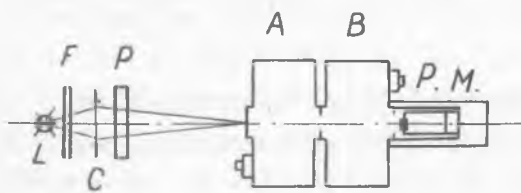
Két azonos típusu, kvarc és üvegprizmával, valamint sikráccsal felszerelt monokromátor /Zeiss SPM-2/ transzmisszióját mértük, a belépő rés élével párhuzamos és rá merőleges irányban polarizált monokromatikus belépő fény esetén a 360-800 nm szinképtartományban. A mérések eredményei azt mutatják, hogy a transzmisszió értékeket minden egyes monokromátorra, bontó elemenként külön-külön kísérletileg kell meghatározni.

A monokromátorok hullámhossztól függő transzmisszió értékeit a gyártó cégek általában nem közlik. Különböző hullámhosszaknál végzett mérések kvantitatív összehasonlításához /pl. intenzitásmérés, érzékelők érzékenységeinek meghatározása, stb./ azonban a hullámhossztól függő transzmisszió értékek ismeretére van szükség.

A monokromátorok transzmisszióját a transzmissziós és reflexiós veszteségek a hullámhossztól függően csökkentik [1]. A transzmissziós veszteségek a rés ablakok, lencsék, prizmak anyagában fellépő abszorpcióból, a reflexiós veszteségek pedig a monokromátorban lévő tükrök /sik, gömb/ reflexióképességéből, a lencsék és prizmak határfelületein fellépő reflexiókból, továbbá rácson monokromátoroknál a rácsnak a "blaze" által meghatározott irányfüggő reflexióképességéből [2] tevődnek össze. A reflexiós veszteségek a hullámhosszon kívül a belépő fény polarizációs irányától is függenek. Mivel gyári készülékeknél a monokromátor egyes elemeinek adatai a felhasználó előtt ismeretlenek, a transzmisszió számításával történő meghatározása eleve kilátástalan. A transzmisszió kísérleti meghatározása azonban aránylag egyszerű eszközökkel elvégezhető. A következőkben ismertetni kívánjuk a Zeiss SPM - 2 [3] monokromátoron a 360-800 nm szinképtartományban elvégzett méréseket és a mérések eredményeit.



Az előzetes mérések azt mutatták, hogy különösen rácsok esetében a két polarizációs irányban a transzmisszió értékei jelentékeny mértékben különböznek. Ezért a rés élével párhuzamos  $/ \parallel /$  és rá merőleges  $/ \perp /$  polarizációs irányban  $/$  elektromos térerő  $/$  mért transzmisszió értékek  $T_{\parallel}/T_{\perp}$  hányadosát  $/$  továbbiakban modulációját  $/$  a rácsoknál közvetlenül is mérni kívántuk. A monokromátor megvilágítását tehát oly módon kellett felépíteni, hogy a polarizáció irányának megváltoztatása  $/$  polaroid forgatása  $/$  a monokromátorba belépő fénynyalábon intenzitásváltozást ne okozzon. Ezt oly módon értük el, hogy izzószálas fényforrás helyett, pontfénylámát  $/$  az izzószálat izzó wolframgömb helyettesíti  $/$  használtunk, mivel izzószálas fényforrásnál a polaroid elforgatásából adódó esetleges kismértékű képtolódás a belépő résen már jelentős fényváltozást okozhat, továbbá a polaroid forgáspontját az optikai tengelybe állítottuk és így a nyaláb a polaroidnak mindig ugyanazon  $/$  csak elforgatott  $/$  részén halad át. Az ilyen módon összeállított megvilágítással a polaroid forgatásakor észlelt intenzitásváltozás 1% alatt maradt.



1. ábra

A mérés elrendezése.

L pontfénylámpa, F színszűrő, C kondenzor, P forgatható polaroid lemez, A és B monokromátorok, P.M. fotomultiplier.

SPM-2 monokromátorok, P.M. fotomultiplier 360-650 nm között E.M.I. 6256 B és 550-800 nm között Valvo 150 C.V.P.

A modulációs értékek közvetlen meghatározásakor a P polaroidot egy motor kb. 6 ford./perc sebességgel forgatta és egy elektromos jeladó jelezte, hogy a polaroid által átbocsátott fény polarizációs iránya a rés élével párhuzamos.

A mérésnél először az A helyen lévő monokromátor belépő rése után mértük a kilépő monokromatikus fény intenzitását az adott szinképtartományban  $/$  prizma esetén 50 nm-ként, rácsoknál 20 nm-ként  $/$  mindkét polarizációs irányban  $/$  a P polaroid  $90^{\circ}$ -al történő átállításával  $/$   $J_0(\lambda, \parallel)$  és

A mérés elrendezését az 1. ábrán láthatjuk. Az L fényforrás egy 220 V 50 Hz hálózatról stabilizátorral táplált 150 W-os pontfénylámpa  $/$  Hilger C.P. 150 A.c.  $/$ , F a 600-800 nm szinképtartományban használt színszűrő, amely az 550 nm alatti hullámhosszuságu mért fények csökkentésére szolgált, C lencse, amely a pontfénylámpa egyik izzó gömbjét kb. 3x nagyításban képezte le a belépő résre, A és B

$J_0(\lambda, l)$ , majd a két, réseikkel érintkező monokromátoron áthaladó fény intenzitását  $J_1(\lambda, l)$  és  $J_2(\lambda, l)$  a B helyen lévő monokromátor kilépő része mögött. A két monokromátort egy közös optikai padra fogtuk fel, amelyen a B helyen lévő monokromátor  $J_0$  mérésekor könnyen hátracsuszthatható volt. A két monokromátor hullámhossz skálájának kis eltolódásai miatt, az  $J_1$  értékeit úgy határoztuk meg, hogy a B monokromátornál a névleges hullámhossz környékén a hullámhossz dobjának forgatásakor mérhető maximális intenzitást olvastuk le. Ezután az azonos hullámhosszakhoz és polarizációs irányokhoz tartozó  $J_1$  és  $J_0$  értékeiből a B helyen lévő monokromátorra vonatkozó transzmisszió értékét  $T = J_1/J_0$  képlettel számoltuk. A méréseket háromféle bontóelemmel /kvarcprizma, üvegprizma és síkrács/ végeztük. Egy-egy mérésnél mindkét monokromátorban, azonos típusu bontóelemek voltak. A mérés után a két monokromátort felcseréltük és ekkor az eddig a monokromatikus megvilágítást adó helyen lévő monokromátor transzmisszió értékeit határoztuk meg. A ki- és belépő rések nyílása minden mérésnél az A helyen lévő monokromátornál  $0,2 \times 1$  mm, a B helyen lévő monokromátornál  $1,5 \times 10$  mm volt.

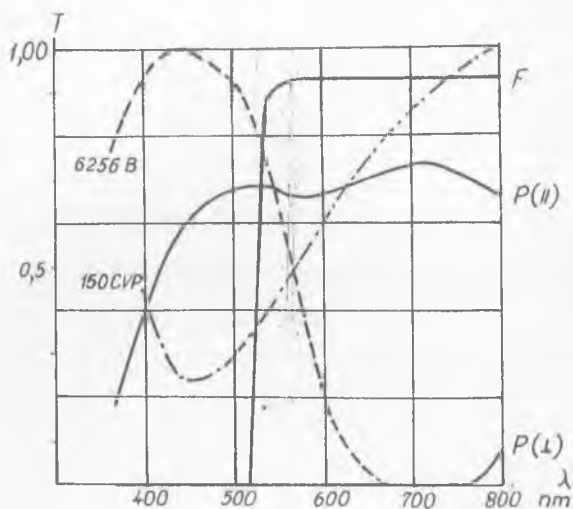
A használt multiplier katódérzékenységének a katód különböző helyein tapasztalt erős változása miatt, különös gondot fordítottunk arra, hogy mind az  $J_0$ , mind az  $J_1$  intenzitás mérésénél a fény a katódnak ugyanazon helyére jusson.

A modulációs értékeket a síkrácsok esetén az A helyen lévő monokromátor mögött közvetlenül mérhető intenzitásnak, a polaroid motorikus forgatása közben mérhető max., ill. minimális értékeiből számoltuk. Az intenzitásváltozást regisztráló galvanométerrel mértük, amely egyúttal a függőleges polarizációs irányhoz tartozó jelet is rögzítette.

Méréseink eredményeit a 2. ábrán mutatjuk be. A rácsoknál a transzmisszió értékei mellett egyúttal az intenzitásmoduláció közvetlenül mért értékeit is feltüntettük. A 3. ábrán az alkalmazott polaroid párhuzamos és keresztezett állásban mért transzmisszióját /  $P_{\parallel}$ ,  $P_{\perp}$  / az F vágószűrő transzmisszióját és a multiplierék /gyárilag közölt/ katódérzékenységét láthatjuk a hullámhossz függvényében.

Méréseink eredményeit kvantitativé összefoglalva, a következőket állapíthatjuk meg: az SPM-2 monokromátoroknál, a 360-800 nm közötti hullámhossztartományban, kvarc és üvegprizma esetén a transzmisszió maximális értéke vízszintes polarizációs irányban van és a változás a hullámhossz függvényében lassú. A két monokromátor azonos típusu bontóelemekre vonatkozó transzmissziós értékei nagyjából megegyeznek. A víz-





3. ábra

A használt polaroid lemez transzmissziója lineárisan polarizált fényre, a polarizáció irányával párhuzamos  $P(\parallel)$  és rá merőleges  $P(\perp)$  esetben, az  $F$  vágósűrű transzmissziója és a használt fotomultiplierek relatív katóderzékenysége a hullámhossz függvényében.

gált két rács esetében viszont az elsőrendű szinképben a transzmisszió maximális értéke a függőleges polarizációs irányban van /700 nm felett a vízszintes polarizációban nagyobb a transzmisszió/, de a hullámhossztól való függés, különösen a vízszintes polarizációban erős és a két rácsnál erősen eltérő értékeket ad /feltehetően a más "blaze" szög és karcolatprofil miatt/.

Mindezek alapján monokromátorokkal végzendő kvantitatív mérések előtt a megfelelő bontóelemmel felszerelt monokromátor hullámhossztól függő transzmisszióját célszerű bontóelemenként meghatározni.

#### I r o d a l o m

- [1] Mátrai T.: Gyakorlati spektroszkópia. Műszaki Kiadó Budapest, 1963
- [2] Stroke, G.W.: Physics Letters 5, 45 /1963/
- [3] Schiek, O., Winter, E.: Appl. Opt. 4, 195 /1960/

Érkezett: 1965. július 30.

KFKI Közl. 14.évf. 1.szám, 1966.



## AZ URÁN TÖMEGSPEKTROMETRIÁS IZOTÓPANALIZISE TERMIKUS IONIZÁCIÓVAL

Irta: Opauszky István és Matus Lajos

### Összefoglalás

Az urán izotópösszetételének meghatározására kísérleteket végeztünk wolframporral szinterezett és grafitpor szuszpenzióval bevont wolframszál termikus urán emissziójára vonatkozóan. Az előbbihez MI-1305-ös, az utóbbihoz CSF-500-as típusú készüléket használtunk. Mindkét készülék egyszeres fókuszálása, az ionrádiusza 20 cm. Az iondetektálás egyenáramú erősítővel történt. Megállapítottuk, hogy megfelelően megválasztott mérési feltételek mellett az alkalmazott típusú készülékek is alkalmasak lehetnek az urán izotópösszetételének termikus ionkeltéssel történő meghatározására. Különösen a grafitpor szuszpenziós módszer bizonyult alkalmasnak, mivel egyszerű és kis uránmennyiséggel huzamos időn keresztül konstans és elegendően nagy  $U^+$  ionintenzitást szolgáltat.

### Bevezetés

Az atomreaktorok felhasználásának elterjedésével egyre gyakrabban merül fel az urán izotóp-összetétel, elsősorban az  $^{235}U$ -koncentráció ismeretének szükségessége.

Az urán izotóp-összetételének meghatározására a következő módszerek jöhetnek számításba.

- 1/ Tömegspektrometria
- 2/ Spektroszkópia
- 3/ Aktivációs analízis
- 4/ Gamma-spektroszkópia
- 5/ Hasadási termékek analízise hasadási kamrával
- 6/ Neutron abszorpció
- 7/ Zéró teljesítményű reaktorok teljesítményének a kritikus értéktől való eltérésének mérése

Valamennyi módszer közös jellemzője, hogy költséges berendezést igényel. Míg azonban a tömegspektrometriás módszer tetszőleges koncentráció intervallumban kis anyagmennyiség / mg -  $\mu$ g / felhasználása mellett is

$\pm 1,0\%$ -os, vagy annál nagyobb pontossággal alkalmazható, a többi módszer csak bizonyos esetekben / pl. adott koncentráció intervallumban/ szolgáltathat kielégítő eredményeket. Ez magyarázza azt a tényt, hogy urán izotópösszetétel meghatározására csaknem kizárólag tömegspektrométereket alkalmaznak.

A laboratóriumok nagy többségében elterjedt 10-20 cm-es ionrádiusú, 100-300-as felbontóképességű kémiai, vagy izotóp tömegspektrométerek csak gáz-halmazállapotú uránvegyület, az uránhexafluorid izotóp analízisére lehetnek alkalmasak, ha beeresztőrendszerük, ionforrásuk és ionkamrájuk kimelegíthető a memóriaeffektus kiküszöbölése céljából. Nem gáz-halmazállapotú uránvegyületek izotópanalízisére az ilyen készülékek felbontóképessége, érzékenysége csak speciális megoldások alkalmazásával lehet elegendő. Ezekre két mód kínálkozik:

- 1/ a ionkeltés effektivitásának növelése
- 2/ a detektálás érzékenységének növelése.

Jelen munkában az 1/ pont néhány kérdésével kívánunk foglalkozni.

### Ionkeltési módszerek

A tömegspektrometriás izotópanalítika egyik központi kérdése a megfelelő ionkeltési módszer kiválasztása, melynek a rendelkezésre álló berendezés, anyagmennyiség és a kívánt pontosság figyelembevételével kell megtörténnie.

Az urán tömegspektrometriás izotóp analízisére, miként az elemek többségében, háromfajta ionkeltési módszer alkalmazható.

1/ Gáz-halmazállapotú uránvegyület elektronütköztetési ionizációja /  $UF_6$  / [1] .

2/ Szilárd halmazállapotú uránvegyület gőzének elektronütköztetési ionizációja /  $U_3O_8$  / [2] .

3/ Szilárd halmazállapotú uránvegyület termikus emissziója

Az első teljes urán izotópanalízist Nier szilárd halmazállapotú vegyületeken,  $UBr_4$ -on és  $UCl_4$ -on végezte el [2] . Ez a módszer azonban viszonylag nagy anyagmennyiséget igényel, erősen szennyezheti az ionforrást /ezzel a készülék jó működésének veszélyeztetése mellett szá-

mottevő háttéreffektust is okozhat/ amellelt a metodika is nehézkes, mivel minden egyes anyagminta után az ionkamrát le kell levegőzni.

A második világháboru alatt és után a hatalmas gázdifúziós  $^{235}\text{U}$ -dusító üzemek működésével kapcsolatban csaknem kizárólag az üzemek munkaanyagát az  $\text{UF}_6$  -ot közvetlenül használták fel urán izotópanalitikai célokra, tehát a mintát semmiféle kémiai, vagy fizikai műveletnek nem kellett alávetni.

A módszer nagy előnye a másik két módszerhez viszonyítva első sorban gyorsaságában rejlik, mivel az egyes minták analízisének elvégzése után nem szükséges a kamra lelevegőztetése. Az  $\text{UF}_6$  alakban történő uránizotóp összetétel analízis még azzal a speciális előnnyel is rendelkezik, hogy a gázok tömegspektrometriájában sok nehézséget okozó izotópcsucs szuperpozíció elmarad, mivel a fluornak csak egy természetes izotópja van. Megnehezíti viszont a mérést az  $\text{UF}_6$  erős adszorpciós tulajdonsága miatt fellépő memoriaeffektus [6], erős korrozív hatása [3] és nagyfokú toxicitása [4].

Az urándusító üzemeket kivéve azonban az esetek nagy többségében az analizálandó urán nem  $\text{UF}_6$ , hanem más, első sorban  $\text{U}_3\text{O}_8$  /vagy más oxid/ alakban fordul elő és az analízist igen gyakran néhány mg, sőt  $\mu\text{g}$  mennyiséggel kell elvégezni. Ilyen mennyiségek  $\text{UF}_6$  -dá történő átalakítása csak igen nehezen, vagy egyáltalán nem végezhető el, ezért az utóbbi évtizedben megjelent munkák zöme az urán termikus ionizációjával végzett analízisek problémájával foglalkozik.

### Termikus ionkeltés

Ismeretes, hogy ha magas olvadáspontu fémfelületre valamilyen másik elem nehezen párolgó sóját felvisszük és a fémet kellően magas hőmérsékletre melegítjük, a fém felületéről az anyag egy része ionok, másik része pedig semleges atomok, vagy molekulák alakjában távozik.

A felületet elhagyó ionok, ill. atomok száma között az alábbi un. Saha-Langmuir egyenlet állapít meg összefüggést

$$\beta = \frac{N^+}{N_0} = \eta \cdot e^{\frac{\epsilon(\phi - V)}{kT}}$$



ahol is  $N^+$  az ionok,  $N_0$  a semleges részecskék számát jelenti,  $\eta$  konstans az un. termodinamikai súly,  $\Phi$  a fém kilépési munkája, a  $V$  a vizsgálandó anyag ionizációs potenciálja,  $\xi$  az elektromos töltés egység,  $K$  a Boltzmann állandó,  $T$  pedig az absz. hőmérséklet.

Eszerint tehát az ionok száma a semleges részecskék számához képest annál nagyobb, minél nagyobb a fém kilépési munkája és minél kisebb a vizsgálandó elem ionizációs potenciálja. A termikus ionkeltés ezért elsősorban az alkáli elemeknél alkalmazható előnyösen alacsony ionizációs potenciáljuk miatt. Káliumból  $V = 4,32$  eV / pl. már  $\mu\text{g}$ -nyi mennyiségek elegendők az analízis elvégzéséhez, ha megfelelően nagy kilépési munkájú fémet /pl. W, Ta, Re, Pt / alkalmazunk. /Kilépési munka értékeire lásd pl. Hodgman, Charles D. "Handbook of Chemistry and Physics" 44. ed. 2655-2663 old. /1963/ /.

Bár a termikus ionkeltés alkalmazása technikailag nehézkes u. is minden mérés után a kamrát le kell levegőzni, a módszernek két igen fontos előnye van:

- 1/ A mérés elvégzéséhez kis anyagmennyiség szükséges.
- 2/ Memoriaeffektus nem lép fel.

Az első a rendszerint kicsiny rendelkezésre álló anyagmennyiség, a második a mérés reprodukálhatósága szempontjából játszik fontos szerepet.

Az urán izotóp összetételének termikus ionkeltés módszerével történő meghatározásához a  $(\phi - V)$  kis értéke, az izzószálon létrejövő potenciálesésből eredő energia inhomogenitás, az ionizáció idején uralkodó magas hőfok /1500-2000°C/, valamint az egyes minták nagy  $^{235}\text{U}$  koncentráció különbsége miatt /0,1 % - 100 %  $^{235}\text{U}$ / általában csak speciális, nagy teljesítőképességű /vagy kettős fókuszálású, vagy 20 cm - nél nagyobb ionrádiusú, vagy 5-15 kV gyorsító feszültségű, ill. ezen paramétereket együttesen alkalmazó/ készülékek használhatók [5], [7], [8], [9]. Az utóbbi néhány évben ugyan már megkezdtek ilyen készülékek gyártását, ezek ára azonban kb. kétszerese a "normál" készülékekének és igen nehezen beszerezhetők.

Azok a munkák, amelyek az urán izotóppösszetételének meghatározására a laboratóriumok nagy többségében elterjedt, nem speciálisan e célra épített tömegspektrométerek alkalmazásával foglalkoznak, nemcsak azért jelentősek, mert a laboratóriumok ilyen speciális készülékekkel nem

rendelkeznek, hanem mert értékes hozzájárulást jelentenek a termikus ionizáció tömegspektrometriai alkalmazhatóságának gyakorlati és elméleti kérdéseihez is. Az ionkeltésnek e módszere ugyanis koránt sincs olyan mértékben tisztázva, mint az elektronütköztetési ionelőállításé.

Az irodalomban közölt eredmények, valamint saját kísérleti tapasztalatunk alapján megállapítottuk, hogy nem speciális készülékek is alkalmasak lehetnek urán izotópanalizisre abban az esetben, ha az ionkeltésnél a következő négy feltétel közül valamelyik, vagy egyidejűen néhány teljesül.

- 1/ Nagy fajlagos fémfelület
- 2/ Olyan idegen anyagok jelenléte, amelyek a fém kilépési munkájának értékét növelik.
- 3/ Az analizálandó uránvegyület meghatározott kémiai állapota.
- 4/ Az ionforrás geometriája.

Kísérleteink elsősorban arra irányultak, hogy megvizsgáljuk az első három feltétel kielégítésének, és ennek alapján az  $^{238}\text{U}/^{235}\text{U}$  arány meghatározásának néhány lehetőségét.

#### Termikus ionforrás nagy fajlagos fém-felülettel

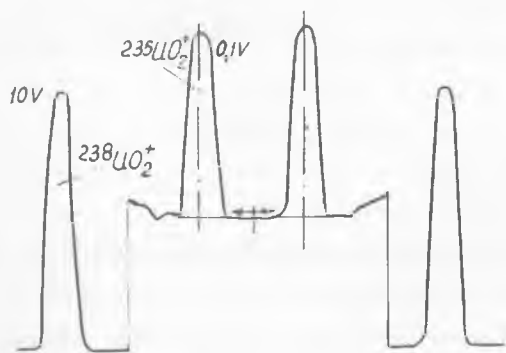
Nagy fajlagos fémfelület kialakításának legegyszerűbb módja finom szemcséjű pornak a fém felületére történő ráégetése "szinterelése". Porózus, nagy fajlagos fémfelület előállítható fénoxidok termikus bontása folytán is [10]. Ebben az esetben azonban számolnunk kell az oxigénnek mint idegen anyagnak az ionizáció határfokára kifejtett hatásával is /lásd alább/. Méréseinkhez wolframporral szinterezett wolfrámlemez alkalmaztunk /8,0 x 1,0 x 0,2 mm/, amelyre kb. 2 mg uranilnitrát oldatot cseppentettünk fel. A szálát infralámpa alatt kb. 20 percig szárítottuk, majd vákuumban / $10^{-5}$  Hgmm nyomáson/ előizzítottuk. Az előizzítás folyamán az uranilnitrátot uránoxiddá /  $\text{U}_3\text{O}_8$  / alakítottuk át. A reakció lefolyását a minta színváltozása jelzi, /zöld  $\rightarrow$  sárgásbarna  $\rightarrow$  fekete/.

Az így előkészített szálát a tömegspektrométer ionforrásába helyeztük és lassan, kb. fél óra alatt a kívánt hőfokra /kb. 1700-2000°C/ felizzítottuk. 600-700°C-on  $\text{K}^+$  ionok jelennek meg spektrumban, amelyre a készülék optimális ionoptikája beállítható /jusztírozható/.

A spektrumban  $\text{UO}_3^+$ ,  $\text{UO}_2^+$ ,  $\text{UO}^+$  és  $\text{U}^+$  ionok jelennek meg, melyek intenzitás aránya az  $\text{UO}_2^+$  ionokét 100-nak véve kb. 1:100:20:3. A mérésre tehát célszerűen az  $\text{UO}_2^+$  ionokat használtuk.

Szinterezés nélküli wolframszálról mindössze kb. 10. percig  $\sim 2 \cdot 10^{-13}$  A ionintenzitást kaptunk, ami  $\alpha \sim 10^{-10}$ -nek felel meg, ha  $\alpha$ -val jelöljük az ionkihozatot, amely alatt a detektor által mért és a bevitt uranilnitrát által képviselt összes töltés hányadosát értjük feltételezvé, hogy az uranilnitrát teljes mennyiségében  $UO_3$ -á alakul a szál izzításakor. /Az így mért ionkihozat értéke természetesen nemcsak a választott rendszer fizikai-kémiai jellemzőitől, hanem az ionforrás geometriájától, valamint a tömegspektrométer áteresztőképességétől /fényerejétől/ is függ./ Ezzel szemben szinterezett W-lemezzről 1-2 óra hosszút, /viszonylag/ konstans, átlagban  $1,5 \cdot 10^{-11}$  A intenzitású  $UO_2^+$  ionáramot nyertünk, ami  $\alpha \sim 10^{-7}$ -nek felel meg, s ez a sima W-lemezzel kapott ionkihozat kb. ezerszerese.

Szinterezett wolfram szállal kapott természetes urán spektrumot mutat be az 1. ábra.



1. ábra

Mint az ábrából megállapítható, a készülék felbontása elegendő, a csucsmagasságok jól leolvashatók. Az  $^{238}U/^{235}U$  hányados értékére több leolvasás középértékeként 138,2 kaptunk. Az irodalomban található érték 138,8 [11].

A szinterezés hatása elsősorban a nagy fémfelület kialakításában és a minta jobb tapadásában kere sendő.

#### Idegen anyagok hatása

Gyakorlatilag igen fontosak és elméletileg nagyon érdekesek azok a vizsgálatok, amelyek idegen anyagok jelenlétének az ionizáció effektivitására kifejtett hatásával foglalkoznak. A bórax [21] és a Sauerisen cement alkalmazása a termikus ionizációban már régóta ismeretes [13] [14]. Ezen anyagok hatása a minta jobb tapadásában és ezen keresztül a vizsgálandó anyag és az izzószál intenzívebb érintkezésében kere sendő.

Idegen anyagok, elsősorban az elektronegativ elemek hatása azonban a fém felület kilépési munkájának megváltozásában is megnyilvánulhat. A Saha-Langmuir összefüggés csak szigoruan tiszta fém felületek esetében írja le helyesen a folyamatokat. Weiershausen [15] mérései sze-

rint oxigén jelenlétében a  $W$  -szál felületéről kilépő  $Cu^+$ , ill.  $Ag^+$  ionok száma lényegesen nagyobb lehet, mint az a Saha-Langmuir egyenletből várható lenne, aminek az az oka, hogy az adszorbeált  $O_2$  megnöveli a  $W$  kilépési munkájának értékét. Fenner [16] a  $Re$  kilépési munkájának növekedését tapasztalta  $O_2$ -gáz jelenlétében. Az oxigéneken kívül azonban más anyagok is fejthetnek ki hasonló hatást Zmbov [17] [18] mérései szerint a  $Cl_2$ -gáz a wolfram felületén kovalens kötéssel megkötődik, s az így kapott  $W-Cl$  képződmény már nagyobb kilépési munkával rendelkezik. Studier [19] a benzol termikus bomlásakor keletkező szén hatását találta kedvezőnek a  $Re$  ionizálú képességére.

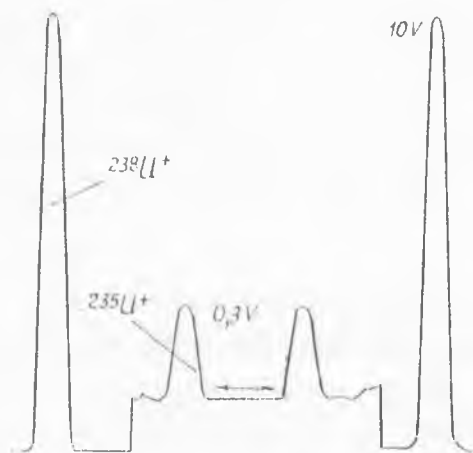
Mi a méréseinkhez grafitpor /RW-III Extra Ringsdorf Werke/ vizes szuszpenzióját alkalmaztuk, amelyet az előzőleg gondosan megtisztított wolfram-szállra vittünk fel, majd a szuszpenziót infralámpa alatt megszáritottuk. Az egy méréshez felhasznált grafitpor mennyisége cca. 0,1 mg volt. Ezután kb. 10  $\mu g$  uranilnitrátot cseppentettünk fel a szuszpenzióra vizes oldat formájában, majd az így elkészített mintát a tömegspektrométerbe helyeztük. A méréshez CSF-500 típusu tömegspektrométert használtunk. A szál hőmérsékletét fokozatosan emeltük, miközben  $CO^+$ ,  $N_2^+$ ,  $NO^+$ ,  $CO_2^+$  ionok keletkezését /egyidejű elektronütöztetéses ionizáció alkalmazása mellett/ figyeltük meg nagyobb mennyiségben, amelyek az uranilnitrát bomlása és az uránoxidnak a grafittal történő reakciója folytán keletkeztek. Mintegy 1500°C körüli hőmérsékleten  $U^+$ ,  $UO^+$  és  $UO_2^+$  ionok jelentek meg, amelyek közül az  $U^+$  ionok intenzitása volt a legnagyobb. 1700°C felett gyakorlatilag csak  $U^+$  ionok vannak jelen cca.  $10^{-9}$  A intenzitásban és ez az intenzitás kb. 1 óra hosszat állandó maradt, ( $\alpha \sim 10^{-3}$ ) s így  $^{238}U/^{235}U$  arányt könnyen meghatározhattuk.

I. táblázat

Sor szám	$^{238}U/^{235}U$
1	137.11
2	139.16
3	138.82
4	137.72
5	137.58
6	138.20
7	138.70
Közelítő érték	$138.18 \pm 0,38$

Grafitporos módszerrel több mérési sorozatban kapott  $^{238}\text{U}/^{235}\text{U}$  értékeket mutat be az I. táblázat.

A felbontóképesség illusztrálására a 2. ábra szolgál.



2. ábra

#### A grafit hatása az ionemisszióra

Az uranilnitrátból keletkező  $\text{UO}_3$  disszociációs egyensulya redukáló agens /jelen esetben grafit / hatására eltolódik a fém urán keletkezésének irányában az alábbi egyensulyi reakciók szerint.



Ennek eredményeképpen az ionizáció eloszlásában a különböző ionfajták között olyan irányú változás jön létre, amelynek következtében az  $\text{U}^-$  ionok mennyisége megnő, az  $\text{UO}_2^-$  -ből keletkező többi ionfajta, az  $\text{UO}^+$ ,  $\text{UO}_2^+$ ,  $\text{UO}_3^+$  mennyiségének rovására. /Magasabb uránoxidok, pl.  $\text{UO}_4^+$  stb. keletkezésének valószínűsége igen kicsi, ezért ezekkel nem foglalkozunk. /Megjegyezzük, hogy a különböző kémiai állapotoknak megfelelő ionintenzitások nem közvetlen mértékegységei az adott kémiai állapotban meglévő koncentrációknak, hanem valamennyire külön érvényes a Saha-Langmuir egyenlet más és más  $\phi$  ill.  $V$  értékekkel, ezért a kémiai egyensulyból közvetlenül az ionintenzitások nem számíthatók ki./

A redukció hatása több szempontból is előnyös. A fém-urán ionokon történő mérés a kisebb /238, ill. 235/ tömegszámok miatt jobb felbontóképességet és ezáltal nagyobb pontosságot eredményez, mint amelyet az  $\text{UO}^+$  /tömegszám 254, ill. 251/, ill. az  $\text{UO}_2^+$  ionok /tömegszám 270, ill. 267/ esetében kaphatunk. Igen pontos  $^{238}\text{U}/^{235}\text{U}$  arány meghatározásoknál  $\text{UO}_2^+$  ionokon történő mérésnél az oxigén izotóp összetételéből

\* /A tömegspektrometriai tapasztalatok tanúsága szerint az /1/ reakció, magas hőmérsékleten redukáló agens jelenléte nélkül is erősen jobbra tolódik./

$^{16}\text{O}$ ,  $^{17}\text{O}$ ,  $^{18}\text{O}$ / eredő ion szuperpozíciót is figyelembe kell venni, ami  $\text{U}^+$ , ill.  $\text{UO}^+$  ionok esetében elmarad /u. is 270-es tömegszámot kapunk az  $^{238}\text{U}^{16}\text{O}_2^+$  ionokon kívül az  $^{235}\text{U}^{17}\text{O}^{18}\text{O}^+$  ionoktól is/.

Hasonló intenzitás növekedés érhető el azáltal is, ha redukáló szer helyett oxidáló szert viszünk a rendszerbe. Goris [10]  $\text{Ta}_2\text{O}_5$ -os oxidációt alkalmazott és ezáltal csaknem kizárólag  $\text{UO}_2^+$  ionokat kapott.

A termikus egyensulynak ilyen módon történő eltolása folytán nyert ionintenzitás növekedés ritkán éri el az 1-2 nagyságrendet. Méréseink tanúsága szerint azonban az  $\text{U}^+$ -ionok intenzitás növekedése ennél lényegesen nagyobb.  $10 \mu\text{g}$  uranilnitráttal,  $10^{-9}$  A ionintenzitással és 1 óra időtartalommal számolva  $\alpha \sim 10^{-3}$  adódik, ami a szinterezett szállal kapott  $\alpha$  értéknél több nagyságrenddel nagyobb, ami tehát a termikus egyensúly eltolódásából származó ionintenzitás növekedéssel egyedül nem magyarázható. /A nagy  $\alpha$  érték változásnál figyelembe kell venni azt is, hogy a szinterezett szál mérését nem ugyanazon a készüléken végeztük, mint a grafit szuszp. mérést/.

A jelenség okának pontos kiderítésére méréseket nem végeztünk, de feltehetően számolnunk kell a nagyfeleslegben lévő grafit és az  $\text{UO}_2$  között a következő reakciók lejátszódásával is:



Emellett tanuskodik a spektrumban jelentkező viszonylag nagy  $\text{CO}^+$  ionintenzitás is. Az ionintenzitás nagymértékű megnövekedésének további oka lehet a képződött UC, ill.  $\text{UC}_2$   $\text{U}^+$  ionemissziója is, melyet magasabb hőmérsékleten /  $> 1800^\circ\text{C}$ / Studier és munkatársai [19], a benzol termikus bomlása folytán keletkezett szén és Re szál esetében kísérletileg ki is mutattak.

Az  $\text{O}_2$ -hez, ill.  $\text{Cl}_2$ -hoz hasonlóan azonban a C is kedvező hatással lehet a kilépési munka értékének alakulására, vagy  $\text{W}_2\text{C}$  képződése [20], vagy pedig adszorbtív megkötött szén réteg keletkezése folytán.

A feleslegben jelenlevő szén azonban azt a lehetőséget sem teszi kizárttá, hogy az ionizáció nem is a wolfram, hanem a szén felületén játszódik le legalábbis nagyrésztben, és így nem a wolfram, hanem a szén kilépési munkájával kell számolnunk.

A kérdés tisztázására egyelőre még nem áll elegendő adat rendelkezésre. Az eddigi irodalmi adatok tanulsága, valamint saját tapasztalatunk alapján is azonban az látszik valószínűnek, hogy a szén hatása összetett.

I r o d a l o m

- [1] Chamberlain, O. et al.: Phys. Rev. 70, 580 /1946/
- [2] Nier, A.O.: Phys. Rev. 55, 150 /1939/
- [3] White, J.R. et al.: Phys. Rev. 74, 991 /1948/
- [4] Nier, A.O.: Anal. Chem. 20, 188 /1948/
- [5] Fornwalt, D.E. et al.: PWAC-393 The "Determination of Uranium Isotope Abundances and Reaktor Fuel Burnup by Mass-Spectrometry"
- [6] Bir, R.: Rapport CEA No.1756 "Methode de Reduction de erreurs des memoire dans les analyses isotopiques de l'hexafluorure d'uranium par spectrometrie de masse"
- [7] Dietz, L.A. et al.: Anal. Chem. 32, 1276 /1960/
- [8] Lounsbury, M.: Canad. J. of Chem. 43, 259 /1956/
- [9] Barton, G.W. et al.: Anal. Chem. 32, 1599 /1960/
- [10] Goris, P.: IDO-14590 "Improved Sample Bonding and Emission with Tantalum Surface Ionization Filaments" /1962/
- [11] Bainbridge, K.T. and Nier, A.O.: "Relativ Isotopic Abundances of the Elements" Preliminary Report No.9. Nucl.Sci. Ser. /1950/
- [12] Nief, G.: "Applied Mass Spectrometry" 253.o. The Inst. of Petr. London 1954
- [13] Hand, I.E.: Rev. Sci. Inst. 24, 181 /1953 /
- [14] Palmer, G.H. et al.: "Applied Mass Spectrometry" 47.o. The Inst. of Petroleum, London 1954
- [15] Weiershausen, W., Waldron, J.D.: "Advances in Mass Spectrometry" 120.o. Pergamon Press 1959 London
- [16] Fenner, N.C.: J. Sci. Instr. 41, 48 /1964/
- [17] Zmbov, K.F.: Bull. of the Boris Kidric Inst. of Nucl. Sci. 13, No.2. 17 /1962/
- [18] Zmbov, K.F.: Doktori értekezés, Bull. off the Boris Kidric Inst. of Nucl.Sci. /megjelenés alatt/
- [19] Studier, M.H. et al.: J. of Phys. Chem. 66, 133 /1962/
- [20] Robertson, A.J.B., Waldron, J.D.: "Advances in Mass Spectrometry" 559.o. Pergamon Press 1959, London
- [21] Nief, G.: "Applied Mass Spectrometry" 253.o. The Inst.of Petroleum, 1954, London.

Érkezett: 1965. ápr. 24.

1966. máj. 14. évf. 1. szám, 1966.

## NEUTRON DÓZISINTENZITÁS MEGHATÁROZÁS FLUXUS ÉS ÁTLAGENERGIA MÉRÉSSSEL

Irta: Makra Zsigmond

### Összefoglalás

Készüléket szerkesztettünk  $E > 10$  keV energiájú neutronok átlag-energiájának mérésére. Berendezésünk működési elve a következő: moderátor tömbre eső neutronnyaláb a tömb belsejében termalizálódik, aholis a termikus neutronok térbeli eloszlása függ a primer neutronenergiától. A mérés úgy történik, hogy egy polietilén tömb felületén elhelyezett termikus neutron detektor elé különböző vastagságu polietilén korongokat helyezünk. A térbeli eloszlás aszimptotikus viselkedését az "első ütközési módszerrel" írva le, a berendezés energia hitelesítése és érzékenységének energiafüggése a mérésekkel megegyezőnek adódik.

### Bevezetés

Neutron sugárzási terek, például kritikus rendszerek, neutron generátorok környezetének a mérésénél általában összetett információkra van szükségünk. A neutronfluxus meghatározása - mivel a fizikai dózis a neutronenergiától erősen függ, nyilván nem elegendő. Nem elegendő azonban a fizikai dózis meghatározása sem, mivel a neutronok relatív biológiai hatásossága /RBE/ is az energia függvénye. Ilyen módon az RBE-t is figyelembe vevő biológiai dózis a fizikai 2-10,5-szeresen meghaladja / 1. táblázat/. E miatt a neutronenergia meghatározása sugárvédelmi szempontból fontos feladat.

Pontosan dózis karakterisztikájú neutron detektort készíteni nem egyszerű, ezért a dózist gyakran közvetve, pl. fluxus és energia mérésből határozzuk meg. /Ezekkel a kérdésekkel részletesen foglalkoztunk az [1] és [2] közleményben./

A viszonylag egyszerű és kis fluxusoknál is alkalmazható neutronenergia mérésnek természetesen nagy szerepe van más jellegű feladatoknál is, mint például reaktor "kifolyási" spektrumok mérése, vagy különféle magreakciók vizsgálata.



1. táblázat

Relativ biológiai hatásosság - neutron  
energia összefüggés

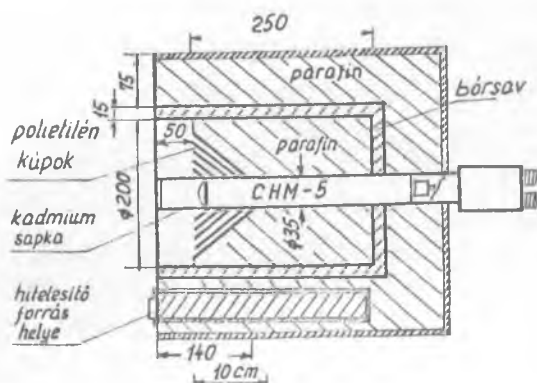
Neutron energia	RBE
termikus	3
100 eV	2
5 keV	2,5
20 keV	5
100 keV	8
500 keV	10
1 MeV	10,5
2,5 MeV	8
5 MeV	7
7,5 MeV	7
10 MeV	6,5

A következőekben egy fluxusra egyenletes érzékenységu számlálóval és egy neutron átlagenergia mérővel végzett vizsgálatainkról számolunk be.

A fluxusmérő detektor

Fluxus meghatározásra a következőekben ismerttetendő átlagenergia mérőn kívül egy egyenletes érzékenységu detektort /Hanson-McKibben féle "Long Counter"/ is használtunk. Ez, nagy mérete folytán, érzékenyebb az átlagenergia mérőnél, továbbá a fluxus meghatározására így két, független mérést tudtunk összevetni. Ezenkívül az átlagenergia mérő bemérésénél a fluxusmérőt ellenőrző számlálóként használtuk.

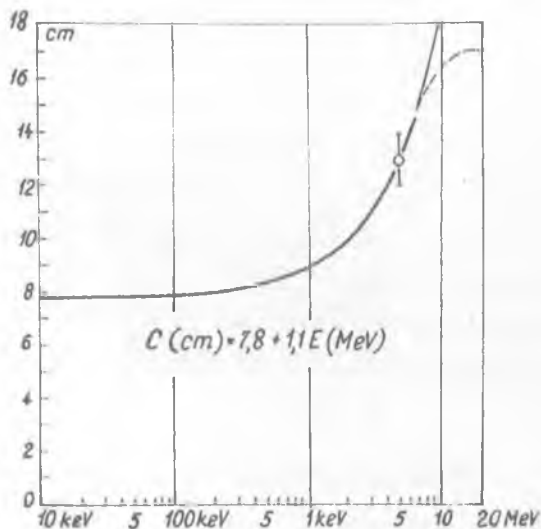
Az eredeti, Hanson-McKibben féle kivitelt [3], [4] VályiLászló úgy módosította [5], [6], hogy a számláló érzékenysége 25 keV alatt, egészen a termikus energiáig, állandó legyen. Az eredeti kivitelnél a homlokfalba furt nyolc lyuk nem emeli meg kellő képpen a kisenergiás érzékenységet, ezért Vályi ezek helyett parafin kupokat alkalmazott /1. 1. ábra/. Mi ezt a megoldást követtük, csak parafin helyett polietilént használtunk a kupok anyagául. Detektorként a szokásosnál nagyobb, 35 mm átmérőju CHM-5 proporcionális számlálót használtunk. A számlálócső átmérőjének megnövelése a 0,025 eV-5 MeV érzékenység menetét nem befolyásolja, de az 5-15 MeV tartományban az érzékenységet megnöveli [7]. Ezenkívül



1. ábra

A fluxusmérő detektor metszete

reakcióval előállított 14,6 MeV energiájú neutronokkal határoztuk meg. A mérési pontokhoz 0,025 eV - 5 MeV között [4] görbéjét, 5-15 MeV között [7] görbéjét illesztettük.



2. ábra

A fluxusmérő  $c$  effektív homlokfelület mélységének változása a neutronenergia függvényében. A folytonos görbe De Pangher tapasztalati összefüggése, a mérési pontot Po-Be neutronforrással vettük fel. A pontozott görbe a lassító tömb hosszának megfelelő értékhez simul

természetesen megnő az abszolút érzékenység is.

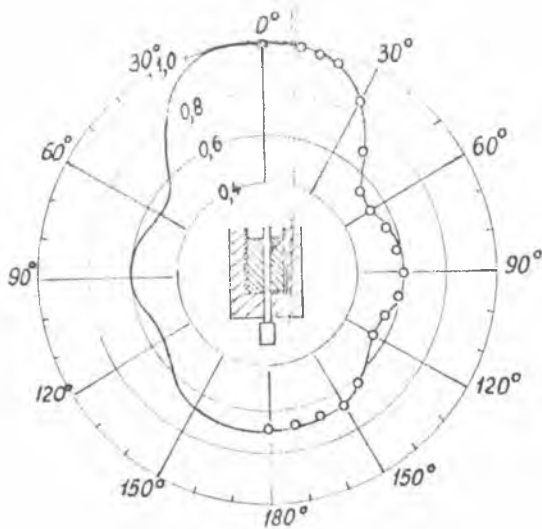
De Pangher "preciziós Long Counter" konstrukciójának megfelelően a detektor tengelyével párhuzamosan furt lyukba hitelesítő Ra- $\alpha$ -Be neutronforrás helyezhető. Amikor a forrás nincs a detektorban, a nyílást plexi dugó zárja el [8].

Detektorunk érzékenységét  $4,1 \cdot 10^6 \pm 10\%$  neutron/sec hozamu Po- $\alpha$ -Be forrással /átlagenergiája:  $\bar{E} = 4,6$  MeV/és/d,t/

A detektor abszolút érzékenysége 4,6 MeV energián  $0,70$  imp/neutron.cm<sup>-2</sup>, 14,6 MeV-en pedig  $0,40$  imp/neutron.cm<sup>-2</sup>. A fluxusmérés hibája sehol sem nagyobb  $\pm 20\%$ -nál.

Az abszolút érzékenység méréshez ismernünk kell a detektor  $c$  effektív homlokfelület mélységét. A számlálási sebesség négyzetgyökének reciprokát, mint a forrástól mért  $r$  távolság függvényét ábrázolva egyenest kapunk, mely az  $r$  tengelyből kimetszi az effektív homlokfelület-mélységnek megfelelő pontot. Ez függ az energiától, 4,6 MeV-re  $13 \pm 1$  cm - t kaptunk. /A parafin kup csucsától számítva./ Ez rajta fekszik

De Pangher  $c=7,8+1,1E$  görbájén [8], /2. ábra/. Az összefüggés nyilván csak addig érvényes, amíg  $c \leq l$  ahol  $l$  az érzékeny térfogat hossza/, ezért 14,6 MeV-en  $c=1,7$  cm-t használtunk.



3. ábra

A fluxusmérő irányérzékenysége

görbét a 3. ábra mutatja. Megjegyzendő, hogy a környezetből szóródó neutronokra, mivel főleg nagyszögű szórás lép fel és így a neutronenergia jelentősen csökken, a detektor árnyékolása hatásosabb. A mérésnél a detektor padló fölötti magassága 160 cm, a forrás-detektor távolság 150 cm volt. Ilyen elrendezésnél a szórt neutronok ~50 imp/perc számlálási sebességet okoztak, ami az egyenesen detektorba jutó neutronok jelének 10-20 %-át tette ki.

### A neutron-átlagenergia mérő

#### A mérés elve

Lassító anyaggal kitöltött féltérre essék merőlegesen energiájú neutronnyaláb. Az  $E$  energiájú neutronok fluxusa a moderátor mélységében, a homlokfalra merőlegesen befelé haladva exponenciálisan fog csökkenni. Az exponens a  $\sum_t(E)$  teljes hatáskeresztmetszet negatívjával egyenlő. Mivel  $\sum_t$  általában függ az energiától, az ütközést nem szenvedett neutronok hely-eloszlásának meghatározásával a beeső neutronnyaláb energiája meghatározható lenne.

Megvizsgáltuk a detektor irányérzékenységét is. Az oldalsó és hátsó árnyékolás különösen diffúz sugárzású terek vizsgálatánál fontos, de pontszerű forrásokkal való mérésnél is előnyös, mivel csökkenti a környezetből szóródott neutron sugárzás hatását.

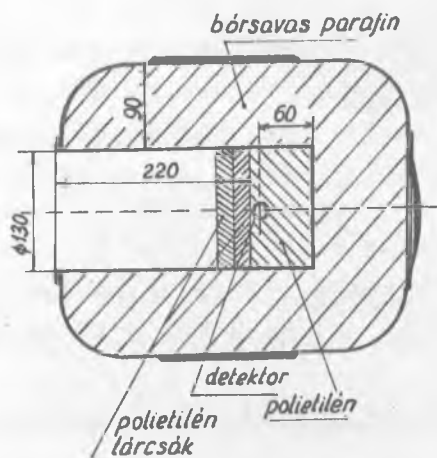
Az irányérzékenységet Po- $\alpha$ -Be forrással vetjük fel. A detektort az effektív homlokfelületnek megfelelő síkon átmenő függőleges tengely körül forgattuk,  $10^\circ$ -os lépésekben. A kapott

A primer neutronnyaláb eloszlását körülményes mérni, azonban hidrogéntartalmu anyagra közelítőleg érvényes a következő megfontolás. A neutron már az első ütközésnél sok energiát veszít, miáltal a közepes szabad uthossza is lecsökken, így első közelítésben a termalizálódás helye azonosnak vehető az első ütközés helyével. A termikus neutronok hely - eloszlását viszont kényelmesen ki lehet mérni. Ezen az uton a termikus eloszlásból a gyors eloszlást és ezen keresztül a beeső neutronok energiáját megmérhetjük.

A gyakorlatban 10-20 cm méretű lassítóanyag tömb is megfelel. Olyan parafin hengerben indium fóliákat helyezett el [9], Block és Shon polietilén tömbben  $Bf_3$  gáz töltésű proporcionális számlálóval mért [10].

Berendezésünk kivitelénél Block és Shon megoldását követtük.

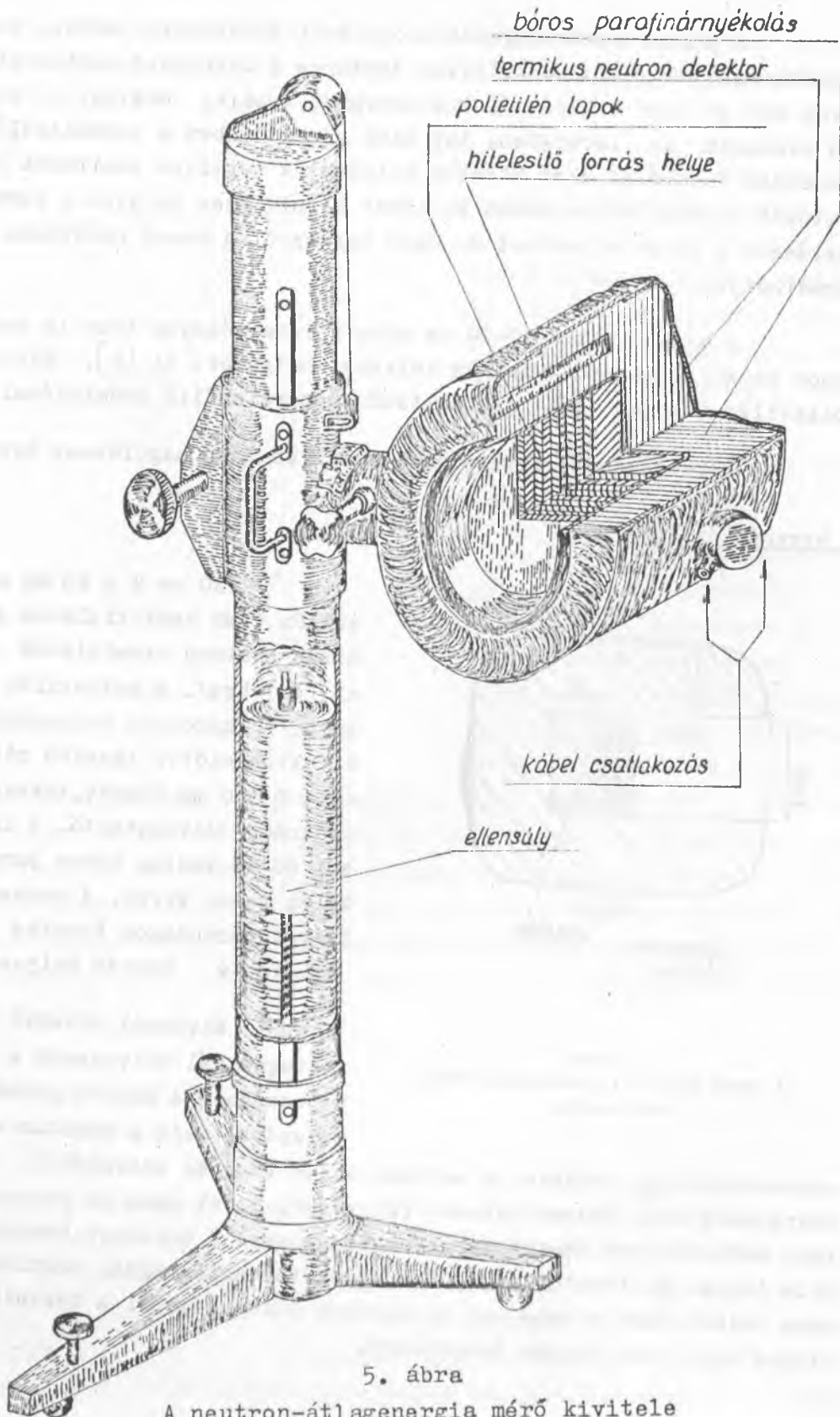
#### A berendezés kivitele



4. ábra  
A neutron-átlagenergia mérő  
metszete

130 mm  $\emptyset$  x 68 mm méretű polietilén tömb homlokfalának síkjában termikus neutron számlálócső helyezkedik el /4. ábra/. A polietilén tömb elé polietilén korongok helyezhetők, így a detektor előtti lassító réteg vastagsága 0-160 mm között, tetszőleges lépcsőkben, változatható. A lassító tömböt 90 mm vastag bóros parafin árnyékolás veszi körül. A rendszer tengelyével párhuzamos furatba hitelesítő  $Ra-\alpha-Be$  forrás helyezhető.

Mérésnél növekvő moderátor vastagságnál felvesszük a számlálási sebességet. A kapott görbe először emelkedik, majd a maximum elérése után exponenciálisan csökken. A maximum helye függ az energiától, azonban az energiának elég lassan változó függvénye, ezért csak az exponenciális szakasz meredekségét használtuk energiámérésre. A detektor homlokfelülete kadmium lappal borítható, a 0-30 mm moderátorvastagságnál kadmiummal és kadmium nélkül mért számlálási sebességek különbségéből a berendezésre eső fluxus termikus hányada becsülhető.



A mérőfej háromkerekű talpon gördíthető, a talpra szerelt 180 cm magas oszlopon pedig függőleges irányban csucstattható. Ezt a mozgást az oszlop belsejében felfüggesztett ellensúly könnyíti meg. A mérőfej ezen kívül vízszintes tengely körül  $360^\circ$ -ban forgatható /5. ábra/.

A termalizálódott neutronok detektálására CHM-9 (SzNM-9) típusú belső falán bór bevonatú, argon-neon töltésű koronaszíkra számláló csövet használtunk. Ez a detektor az első méréseinknél használt, azonos méretű /135x19 mm/, CHM-3 jelű  $\text{BF}_3$  gáz töltésű proporcionális csőnél kb. háromszor érzékenyebb, jelei pedig három nagyságrenddel nagyobbak. A cső tápfeszültség igénye 800-1000 V, a szükséges erősítés 200x-500x.

#### Az átlagenergiamérő jellemzőinek meghatározása

Átlagenergiamérőnk paramétereit közül - mivel a műszert energia és fluxus mérésre kívánjuk használni - a legfontosabb a termalizálódott neutronok lecsengése energiatfüggésének, valamint az érzékenység energiatfüggésének meghatározása. Ha ugyanis a termikus neutronok hely-eloszlását felvesszük és ebből meghatározzuk az átlagenergiát, akkor az érzékenység energiatfüggésének ismeretében a fluxust is meghatározhatjuk, e két adatból pedig a dózisintenzitást számíthatjuk ki.

E két jellemzőt elméleti úton - az előzőekben említett - "első ütközési módszerrel" határoztuk meg, méréseket pedig 2,5 MeV, 4,6 MeV /átlag/ és 14,6 MeV energián végeztünk.

#### A termikus neutronok hely-eloszlásának energiatfüggése

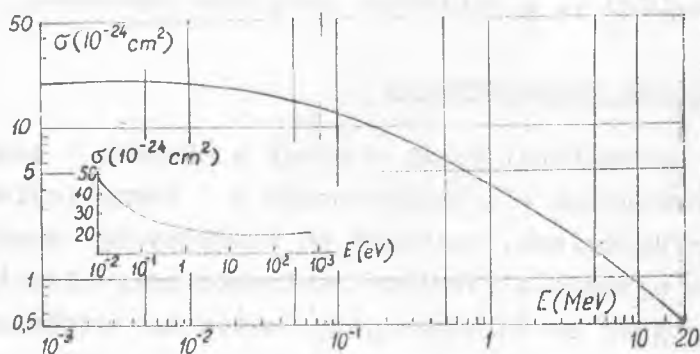
Ha feltesszük, hogy a neutronok az első ütközés helyén termalizálódnak és, hogy ebben a folyamatban a szén atomoknak nem, hanem a hidrogén atomoknak van szerepe, akkor a hely-eloszlás  $k(E) \cdot \exp\{-\sum_H(E) \cdot x\}$  alakú lesz, ahol  $\sum_H(E)$  a hidrogén teljes hatáskeresztmetszete. / $k(E)$  meghatározásával később foglalkozunk./ Ez a közelítés a tényleges eloszlástól a következők miatt tér el.

a/ A neutronok egy részének az első ütközés után is jelentős energiája marad. A szórási szög és az energiaveszteség összefüggése olyan, hogy a nagyobb energiájú neutronok előre szóródnak. Ennek következtében a tényleges csökkenés a számítottnál kevésbé meredek lesz.

b/ A szénatomok is lassítják a neutronokat.

c/ A moderátor tömb véges méretei, illetve a tömböt körülvevő bóros parafin elnyelő hatása, valamint a termikus neutron detektorban bekövetkező elnyelés is befolyásolja a görbe menetét.

A b/ hatást, mivel a C/H arány a polietilénben 0,5, valamint a C atomoknak átadott energia a H atomoknak átadott energiának átlagosan csak 28 %-a, továbbá  $\sum_C < \sum_H$   $E < 2 \text{ MeV}$  esetén és  $\sum_C \approx \sum_H$ ,  $2 \text{ MeV} < E < 15 \text{ MeV}$ , jelen közelítésben elhanyagoltuk.



6. ábra.

A hidrogén teljes hatáskeresztmetszete

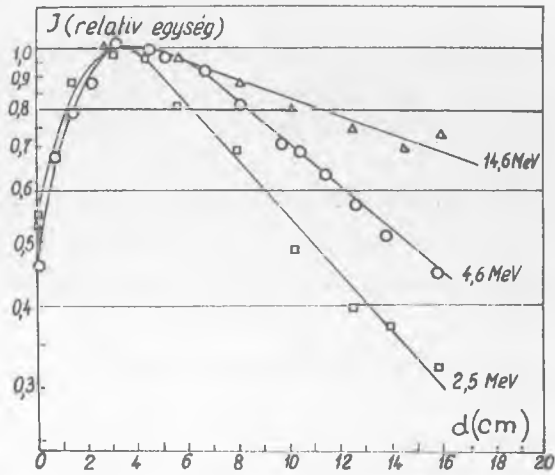
Az a/ és c/ hatás a görbe abszolút értékét megváltoztatja /a relaxációs hossz - energia görbén nyújtást okoz a relaxációs - hossz tengely irányában/, azonban mivel első közelítésben a görbe jellegét nem változtatja meg, ezért a módszer energia-tartományára és érzékenységére vonhatunk le következtetéseket.

A hidrogén hatáskeresztmetszet görbéjéből [11] /6. bára/ látható, hogy a módszer a  $\sim 10 \text{ keV} - 15 \text{ MeV}$  tartományban energiámérésre használható.  $1 \text{ eV}$  és  $\sim 10 \text{ keV}$  között az energiára érzéketlen.  $1 \text{ eV}$  alatt a relaxációs hossz megint függ az energiától.

A  $\sum_H(E)$  alapján számított polietilén felezőréteg vastagság - energia görbét a 8. ábrán tüntettük fel. A  $2,5 \text{ MeV}$ ,  $4,6 \text{ MeV}$  és  $14,6 \text{ MeV}$  energiájú neutronokkal felvett hely-eloszlási görbékből /7. ábra/ meghatározott felezőréteg vastagsághoz az elméleti görbe  $1,80$ -szorosára illeszthető. Az ábrán saját méréseink mellett Block és Shon mérési pontjait is feltüntettük.

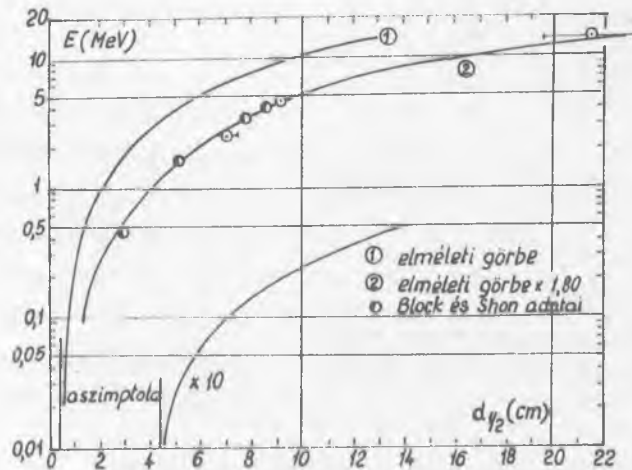
#### A detektor érzékenységének energiatartományára

A lassító tömbre eső neutronfluxusnak egy hányada a homlokfelületről visszaszóródik. A bejutó neutronoknak egy része termalizálódás



7. ábra

Különböző energiájú neutronok által létrehozott termikus neutron eloszlások polietilénben.



8. ábra

A termalizálódott neutronok fluxusa exponenciális csökkenése felező vastagsága polietilénben, a neutron-energia függvényében

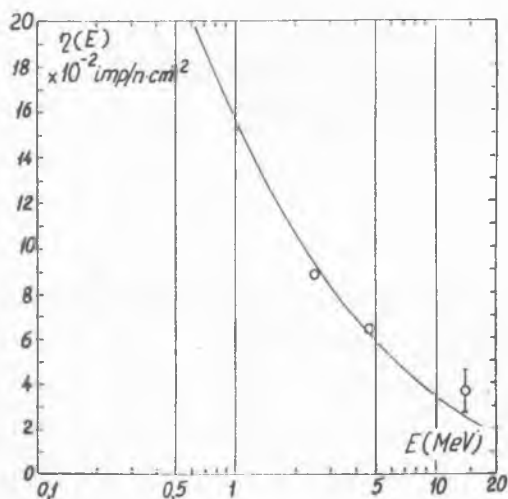


előtt kiszökik, a termalizálódott neutronoknak egy hányada pedig kidifundál a tömbből. Ha első közelítésként ezeknek a veszteségeknek a beeső neutronok energiájától való függését elhanyagoljuk, akkor érvényes a következő megfontolás: az egész tömbre összegezett termikus fluxus a homloklafületre eső teljes fluxusnak  $c$  -szerese lesz  $[c < 1]$ , ahol  $c$  nem függ az energiától:

$$\eta(E) = c \int_0^{\infty} \exp \left\{ -\frac{x}{\lambda(E)} \right\} dx = c\lambda(E)$$

ahol  $\eta(E)$  a detektor érzékenységet adja.

A számítás pontosabbá tételéhez diffúziós és transzport elméleti korrekciók szükségesek, azonban már az így számított görbe és a mérési adatok egyezése is jónak mondható /9. ábra, 2. táblázat/. A 2. táblázatban két energiára vett érzékenység viszonyt tüntettünk fel



9. ábra

Az energiamérő érzékenységének változása a neutron energia függvényében

lázatban két energiára vett érzékenység viszonyt tüntettünk fel mérési eredményeink, számításaink, illetve Block és Shon [10] görbéje alapján. Mint látható, Block és Shon elméleti indoklás nélkül adott exponenciális görbéje mérési adatainktól erősen eltérő eredményt ad.

Az abszolút érzékenységet a Po-α-Be forrás ismert hozamából határoztuk meg. Ez  $\eta = 0,066 \text{ imp/n.cm}^2$  a termikus neutron hely-eloszlási görbe csúcsára vonatkoztatva. A 2,5 MeV és 14,6 MeV energiájú pontoknál a neutrongenerátor hozamát a fluxusmérővel ellenőriztük.

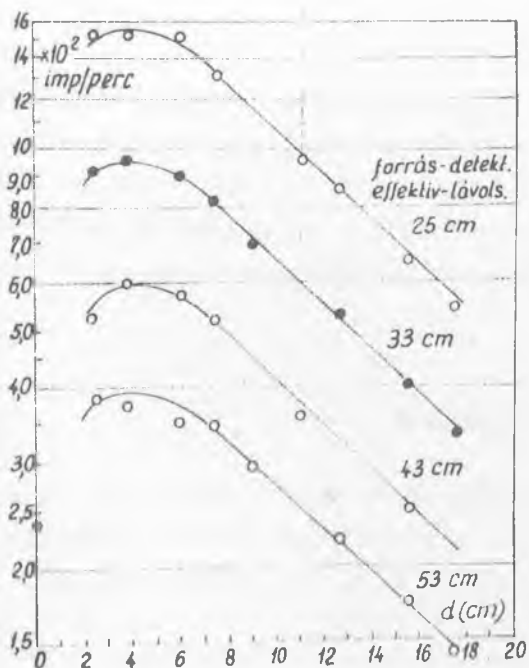
### Effektív homloklafület mélység, irányérzékenység

A számlálási sebesség és a forrás-detektor távolság összefüggéséből - az előző detektornál követett eljáráshoz teljesen hasonlóan - meghatároztuk a detektor effektív homloklafületének helyét. Ez a detektor első síkja mögött  $15 \pm 2$  cm-re fekszik. A különböző forrás - detektor távolságoknál felvett hely - eloszlás görbék egybevágóak /10. ábra/, tehát a sugárnyaláb divergenciája a mérést nem befolyásolja.

II. táblázat

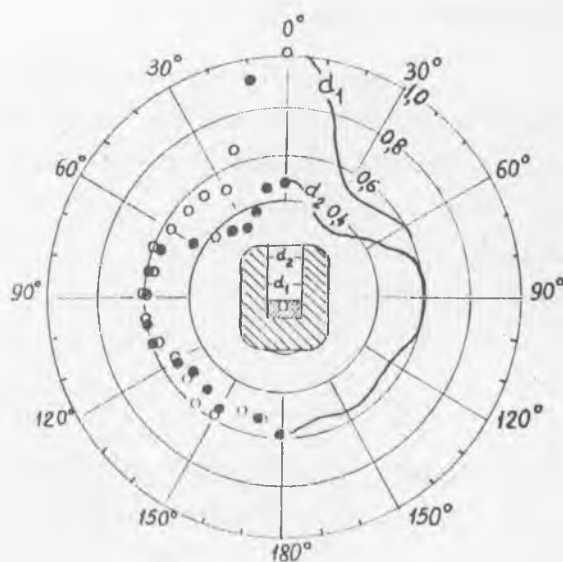
Számított és mért érzékenység viszonyok Block és Shon adataival összehasonlítva

	Elméleti	Mért	Block és Shon
$\frac{\eta_{2,5 \text{ MeV}}}{\eta_{14,6 \text{ MeV}}}$	3,50	$2,25 \pm 0,35$	9,1
$\frac{\eta_{4,6 \text{ MeV}}}{\eta_{14,6 \text{ MeV}}}$	2,43	$1,70 \pm 0,50$	6,5



10. ábra

Különböző forrás-detektor távolságoknál felvett hely-eloszlás görbék 4,6 MeV átlagenergiájú neutronokkal./



11. ábra

A neutronenergia mérő irányérzékenysége.  $d_1$ : 45 mm moderátor vastagságnál,  $d_2$ : 160 mm moderátor vastagságnál

A 11. ábrán a detektor irányérzékenységét tüntettük fel. /Az ábra egyik oldalán csak a mérési pontokat, a másik felén a pontokhoz il-

lesztett görbét ábráztuk./ Nagyobb polietilén vastagságoknál az oldalirányú érzékenység viszonylag megnő, ezért erősen szórt sugárzási terek vizsgálatánál nem célszerű nagyobb / ~ 120-160 mm/ moderátor vastagságánál mérni.

### Összefoglalás

Egyszerűen használható és érzékeny neutronenergia mérőt készítettünk. A berendezés működését jól leíró elméletet is kidolgoztunk, ami feleletet ad több, eddig még nem vizsgált kérdésre. Bár az első ütközési elmélet közelítő volta ellenére is használható eredményeket ad, a továbbiakban célszerűnek látszik az elméletet a második ütközések és a szén atomok szerepének figyelembe vételével finomítani.

Berendezésünket eddig sugárvédelmi dozimetriai és reaktorfizikai mérésekre használtuk, ezekről következő közleményünkben számolunk be.

### Köszönetnyilvánítás

A számos értékes ötletért és megbeszélésért köszönettel tartozom Szatmári Zoltánnak. Vályi László a fluxusmérővel kapcsolatban, Mézsaáros István az energiamérő műszaki terveinél nyújtott segítséget. Zalan Béla a méréseknél és egyes technikai problémák megoldásánál működött közre. A neutrongenerátort a II. Magfizikai Laboratórium bocsátotta rendelkezésemre.

### I r o d a l o m

- [1] Makra Zs.: Neutron-dozimetria. Magy. Fiz. Folyóirat, XIII 1-18 /1965/
- [2] Makra Zs.: Neutron-dozimetria. Őszi Sugárvédelmi Is. Mátrafüred, 1964
- [3] Hanson, A.O., McKibben, J.L.: A Neutron Detector Having Uniform Sensitivity from 10 keV to 3 MeV. Phys. Rev. 72, 673-677 /1947/
- [4] Allen, W.D.: Flat Response Counters, Marion, Fowler: Fast Neutron Physics könyvében, Part I. 361-377
- [5] Vályi L.: Államvizsga szakdolg. Budapest, 1956.
- [6] Vályi L.: Egyenletes érzékenységű neutron számláló KFKI Közl. 319-333 /1956/
- [7] Вацет, Тонапетян, Дорофеев: Детектор нейтронов с постоянной чувствительностью к нейтронами с энергиями от 0,025 до 14 МэВ. Атомная Энергия, 7, (1956) 172-174.
- [8] De Pangher, Physical Aspects of Irradiation, NBS Handbook 85. 47-48

- [9] Oleson, F.B.: Neutron Monitoring with Indium Foils. BNL 351 /T-62/
- [10] Block, S., Shon, F.J.: Neutron Dose Measurements by an Attenuation Technique Health Physics 8, 533-541 /1962/
- [11] Hughes, D.J., Harvey, J.A.: Neutron Cross Sections, BNL 325

Érkezett: 1965. szept. 14.

KDKI Közl. 14.évf. 1.szám, 1966.